

การวิเคราะห์ความล่าช้าของวงเวียนโดยใช้ทฤษฎีแตกออก

โดย

นาย กนก พงษ์จิตยังกูร

วิทยานิพนธ์นี้เป็นส่วนหนึ่งของการศึกษาตามหลักสูตร
วิศวกรรมศาสตรมหาบัณฑิต
สาขาวนสปและสารสนเทศ ภาควิชาวิศวกรรมโยธา
คณะวิศวกรรมศาสตร์ มหาวิทยาลัยธรรมศาสตร์

พ.ศ. 2552

การวิเคราะห์ความล่าช้าของวงเวียนโดยใช้ทฤษฎีแก้วคอย

โดย

นาย กนก พจนจิตยางกูร

วิทยานิพนธ์นี้เป็นส่วนหนึ่งของการศึกษาตามหลักสูตร
วิศวกรรมศาสตรมหาบัณฑิต
สาขางานส่งและสารสนเทศ ภาควิชาวิศวกรรมโยธา
คณะวิศวกรรมศาสตร์ มหาวิทยาลัยธรรมศาสตร์

พ.ศ. 2552

มหาวิทยาลัยธรรมศาสตร์
คณะวิศวกรรมศาสตร์

วิทยานิพนธ์

ขอ

นายกนก ผจงจิตยางกูร

เรื่อง

การวิเคราะห์ความล่าช้าของวงเดียนโดยใช้ทฤษฎีแยกอย

ได้รับการตรวจสอบและอนุมัติ ให้เป็นส่วนหนึ่งของการศึกษาตามหลักสูตร
วิศวกรรมศาสตรมหาบัณฑิต

เมื่อ วันที่ 29 พฤษภาคม พ.ศ. 2552

ประธานกรรมการสอนวิทยานิพนธ์

ดร. นิรุตติ์

(รองศาสตราจารย์ ดร. วิรญา นิมชัย)

กรรมการและอาจารย์ที่ปรึกษาวิทยานิพนธ์

(ผู้ช่วยศาสตราจารย์ ดร. วินัย รักสุนทร)

กรรมการและอาจารย์ที่ปรึกษาวิทยานิพนธ์

นวadee เว่งไวรัตน์

(ดร. พลเทพ เลิศวรวนิช)

คณบดี

(รองศาสตราจารย์ ดร. อรุญา วีสกุล)

บทคัดย่อ

ความล่าช้าเป็นพารามิเตอร์สำคัญที่ปัจจุบันมาถูกนิยามให้เป็นคุณภาพของการให้บริการและสภาพการจราจรของวงเวียน Highway Capacity Manual (HCM) ได้ให้คำจำกัดความไว้ว่าความล่าช้าคือเวลาที่ผู้ขับขี่ใช้ในแวกคอยเพื่อรอช่องว่างในการนำรถเข้าสู่การจราจรในวงเวียน ซึ่งงานวิจัยนี้จะนำเสนอการประยุกต์ใช้ทฤษฎีแวกคอยระบบ M/M/1 ซึ่งมีรูปแบบการคำนวนที่ไม่ซับซ้อน เพื่อให้ประมาณค่าความล่าช้าของยวดยานบนวงเวียน นอกจากนี้ยังศึกษาเปรียบเทียบความล่าช้าของยวดยานบนวงเวียนโดยใช้ทฤษฎีของ Highway Capacity Manual (HCM) และความล่าช้าของยวดยานบนวงเวียนโดยใช้ทฤษฎีของ Signalized and Unsignalized Intersection Design and Research Aid (SIDRA) และค่าความล่าช้าที่เกิดขึ้นบนวงเวียนที่ได้จากการเก็บข้อมูลภาคสนาม

ผลจากการสำรวจและวิเคราะห์ข้อมูลพบว่า ทฤษฎีแวกคอยสามารถใช้ในการประมาณค่าความล่าช้าของยวดยานบนวงเวียนได้ และเมื่อทำการศึกษาเปรียบเทียบกับค่าความล่าช้าของยวดยานบนวงเวียนโดยทฤษฎี HCM พบว่าค่าความล่าช้าของยวดยานบนวงเวียนโดยใช้ทฤษฎี แวกคอยมีค่าใกล้เคียงกับค่าความล่าช้าของยวดยานบนวงเวียนโดยทฤษฎี HCM ในช่วงที่ปริมาณจราจรมีค่าอัตราส่วนปริมาณยวดยานต่อชีดจำกัด (v/c) ต่ำถึงปานกลาง ขณะที่ผลจากการศึกษาเปรียบเทียบกับค่าความล่าช้าของยวดยานบนวงเวียนที่ได้จากการศึกษา SIDRA พบว่าความล่าช้าของยวดยานบนวงเวียนโดยใช้ทฤษฎี แวกคอยจะมีค่าสูงกว่าความล่าช้าของยวดยานบนวงเวียนที่ได้จากการ SIDRA และผลจากการศึกษาค่าความล่าช้าของยวดยานบนวงเวียนที่ได้จากการเก็บข้อมูลภาคสนาม พบว่าการเก็บข้อมูลความล่าช้าของยวดยานบนวงเวียนทำได้ยากและบ่อยครั้งที่ผู้ขับขี่ฝ่าฝืนกฎจราจร ซึ่งทำให้ในบางครั้ง ความล่าช้าที่ได้จากการแบบจำลองทั้งทฤษฎี แวกคอย ทฤษฎีของ HCM และทฤษฎีของ SIDRA ไม่ใกล้กับค่าความล่าช้าที่เกิดขึ้นจริง

Abstract

Delay is an important parameter that can be used to quantify the quality of service and traffic condition for roundabouts. The Highway Capacity Manual (HCM) identifies the delay as the time that a driver spends queuing and waiting for a gap for entering circulating flow. The purpose of this thesis is to apply queue model M/M/1 which is simpler than the HCM's method, the Signalized and Unsignalized Intersection Design and Research Aid's (SIDRA) method, and field delay measurements.

It was found that the Queue theory can estimate vehicle delays at roundabout accurately. Moreover, Queue theory gives similar delay results compared to the delay given by the HCM method when the volume to capacity ratio (v/c) is low to medium. However, Queue theory gives a higher vehicle delay at roundabout than the vehicle delay estimated by the SIDRA. Furthermore, field measurement is difficult to obtain at roundabout because drivers at roundabout often violate traffic regulation. Thus, the delay results given by all three methods could not represent the vehicle delays at roundabout for this situation.

กิตติกรรมประกาศ

ข้าพเจ้า นายกนก ผจจ.จิตยานุร ของลงกิตติกรรมประกาศ เพื่อเป็นเกียรติแก่ผู้มีพระคุณ
ในการดำเนินงานวิจัยนี้ จนสำเร็จ ได้แก่ บิดามารดาของข้าพเจ้า ผู้ให้กำเนิด ผู้ช่วยศาสตราจารย์
ดร.วินัย วังสุนทร และดร.พลเทพ เลิศวรรณิช กรรมการและอาจารย์ที่ปรึกษาวิทยานิพนธ์ ที่กรุณา
ให้โอกาส ความรู้ ความเมตตา และให้คำแนะนำในการแก้ไขปัญหาต่างๆ รวมถึงการตักเตือนและ
ให้ความช่วยเหลือในด้านต่างๆ ในการทำวิจัย ทำให้งานวิจัยนี้สำเร็จลุล่วงไปได้ รวมทั้ง รอง
ศาสตราจารย์ ดร.วีระยา ฉิมอ้อย ประธานกรรมการวิทยานิพนธ์ที่คอยดิตตามให้คำแนะนำ และ
แนวทางในการแก้ไขปัญหามาโดยตลอด

กนก ผจจ.จิตยานุร
มหาวิทยาลัยธรรมศาสตร์
พ.ศ. 2551

สารบัญ

	หน้า
บทคัดย่อ	(1)
Abstract	(2)
กิตติกรรมประกาศ.....	(3)
สารบัญ.....	(4)
สารบัญตาราง.....	(6)
สารบัญภาพประกอบ.....	(7)
บทที่ 1.....	1
บทนำ.....	1
1.1 ความสำคัญของปัญหา.....	1
1.2 วัตถุประสงค์ของการศึกษา.....	2
1.3 ขอบเขตของการศึกษา.....	2
1.4 คุณค่าของวิทยานิพนธ์.....	3
บทที่ 2.....	4
งานวิจัยและทฤษฎีที่เกี่ยวข้อง.....	4
2.1 งานวิจัยที่เกี่ยวข้อง.....	4
2.2 ทฤษฎีที่เกี่ยวข้อง.....	7
บทที่ 3.....	17
วิธีการศึกษา.....	17
3.1 เปรียบเทียบความล่าช้าของวงเวียนโดยทฤษฎีแฉ__(* กับทฤษฎี HCM.....	17
3.2 เปรียบเทียบความล่าช้าของวงเวียนโดยทฤษฎีแฉ(*) กับโปรแกรม SIDRA.....	17
3.3 เปรียบเทียบความล่าช้าของวงเวียนโดยทฤษฎีแฉ(*) กับความล่าช้า ในภาคสนาม.....	18
บทที่ 4.....	22
การวิเคราะห์ข้อมูลและผลการศึกษา.....	22
4.1 เปรียบเทียบความล่าช้าของวงเวียนโดยทฤษฎีแฉ(*) กับทฤษฎี HCM.....	22
4.2 เปรียบเทียบความล่าช้าของวงเวียนโดยทฤษฎีแฉ(*) กับโปรแกรม SIDRA.....	28

สารบัญ (ต่อ)

หน้า

4.3 เปรียบเทียบความล่าช้าของวงเวียนโดยทฤษฎีและความกับความล่าช้า ในภาคสนาม.....	34
บทที่ 5.....	39
สรุปผลการวิจัยและข้อเสนอแนะ.....	39
5.1 สรุปผลการวิจัย.....	39
5.2 ข้อเสนอแนะ.....	41
บรรณานุกรม.....	42
ภาคผนวก.....	45

สารบัญตาราง

ตารางที่	หน้า
2.1 ช่องว่างวิกฤติและเวลาติดตามสำหรับวงเวียน.....	12
3.1 ประเภทยานพาหนะและตัวปรับแก้ค่าเทียบเท่ารถยนต์นั่งส่วนบุคคล.....	20
4.1 ปริมาณการจราจรในการเปรียบเทียบความล่าช้าของวงเวียนโดยทฤษฎีແວຄອຍ กับทฤษฎี HCM.....	22
4.2 เปรียบเทียบความล่าช้าของวงเวียนโดยทฤษฎีແວຄອຍกับทฤษฎี HCM.....	25
4.3 ปริมาณการจราจรในการเปรียบเทียบความล่าช้าของวงเวียนโดยทฤษฎีແວຄອຍกับ โปรแกรม SIDRA.....	28
4.4 เปรียบเทียบความล่าช้าของวงเวียนโดยทฤษฎีແວຄອຍกับโปรแกรม SIDRA.....	30
4.5 ข้อมูลประเภทของยานพาหนะที่เข้ามาใช้บริการวงเวียนหนองนาพิการหนองจอก.....	34
4.6 ปริมาณของยานพาหนะหลังการปรับเทียบเท่ารถยนต์นั่งส่วนบุคคลในการเข้ามา ใช้บริการของวงเวียนแบ่งตามทิศทางการจราจร.....	35
4.7 เปรียบเทียบความล่าช้าของวงเวียนโดยทฤษฎีແວຄອຍกับความล่าช้าในภาคสนาม.....	36

สารบัญภาพประกอบ

ภาพที่	หน้า
2.1 ลักษณะทั่วไปของวงเวียนขนาด 1 ช่องจราจร.....	9
2.2 ทิศทางการจราจรของวงเวียนขนาด 1 ช่องจราจร.....	10
2.3 การพิจารณาขีดจำกัดในการให้บริการ.....	12
2.4 รูปแบบของແຄວໂຄຍແບບ 1 ช่องบริการ.....	15
3.1 ภาพวงเวียนหนองนาพิกาหนอนจาก.....	19
3.2 ภาพถ่ายทางอากาศของวงเวียนหนองนาพิกาหนอนจาก.....	19
4.1 กราฟแสดงความสัมพันธ์ระหว่างความล่าช้าของวงเวียนโดยทฤษฎีແຄວໂຄຍ และทฤษฎี HCM กับ v/c.....	27
4.2 กราฟแสดงความสัมพันธ์ระหว่างความล่าช้าของวงเวียนโดยทฤษฎีແຄວໂຄຍ และโปรแกรม SIDRA กับ v/c.....	33
4.3 กราฟแสดงความสัมพันธ์ระหว่างความล่าช้าของวงเวียนโดยทฤษฎีແຄວໂຄຍ, ทฤษฎี HCM และโปรแกรม SIDRA และความล่าช้าในภาคสนามกับ v/c.....	38
5.1 การฝ่าฝืนหลักการให้ทางรถในวงเวียน.....	41

บทที่ 1

บทนำ

1.1 ความสำคัญของปัญหา

การจัดการการจราจรบริเวณทางแยก มีวิธีการจัดการด้วยกันหลายวิธี ยกตัวอย่างเช่น การจัดการทางแยกโดยใช้สัญญาณไฟจราจร, การใช้ป้ายจราจร หรือการเลือกใช้วงเวียน (Roundabout) ซึ่งในการพิจารณาว่าจะเลือกใช้วิธีใดนั้น จะต้องมีการศึกษาความสามารถในการให้บริการของการจัดการทางแยกในด้านต่างๆ เช่น ความปลอดภัย (Safety), ความล่าช้า (Delay), ความยาวของแถวค้อย (Queue Length), ความสัมประสิทธิ์ในการปฏิบัติงานและบำรุงรักษา (Operation and Maintenance Costs) เป็นต้น เพื่อใช้ในการเปรียบเทียบข้อดี-ข้อเสีย ก่อนทำการตัดสินใจ ซึ่งแนวความคิดการใช้วงเวียนได้ถูกพัฒนาขึ้นมาครั้งแรกในสหรัฐอเมริกา ในปี 1966 เพื่อแก้ไขปัญหาการจราจร โดยนำหลักการ "ให้ทาง" มาใช้โดยที่รถที่จะเข้าสูงเวียน จะต้องให้ทางรถในวงเวียนก่อนและต้องรอจนเมื่อถึงว่าที่เพียงพอในการนำรถเข้าสูงเวียน ซึ่งจะเวียนมีประโยชน์ต่อระบบการจราจรในหลายด้าน เช่น ในด้านความปลอดภัย วงเวียนให้ความปลอดภัยมากกว่าทางแยกอุปแบบอื่นตามจำนวนสถิติการเกิดอุบัติเหตุซึ่งพิจารณาได้จากจำนวนจุดตัดบริเวณทางแยก สำหรับริมถนนจราจรที่น้อยจนถึงปานกลาง ในด้านความล่าช้าและความยาวของแถวค้อย รถที่เข้าสูงเวียนไม่จำเป็นต้องหยุดสนใจก่อนเข้าสูงเวียนในกรณีที่มีช่องว่างที่เพียงพอในการเข้าสูงเวียน โดยเพียงลดความเร็วลงเท่านั้น และรวมถึงรถที่อยู่ในแถวค้อยก็สามารถเคลื่อนที่ได้โดยตลอดด้วย โดยเห็นผลได้ชัดในช่วง nok เวลาเร่งด่วน เป็นต้น

ความล่าช้าเป็นปัจจัยหนึ่งในการประเมินความสามารถในการให้บริการของทางแยก ซึ่งจำเป็นต่อการวิเคราะห์, ออกแบบ รวมไปถึงช่วยในการวางแผนของระบบจราจร ปัจจุบันมีวิธีการประมาณค่าความล่าช้าด้วยกันหลายวิธี เช่นวิธีของ Highway Capacity Manual (HCM) โปรแกรม SIDRA (Akcelik & Associates Signalised & Unsignalised Intersection Design and Research Aid), โปรแกรม DRACULA (Dynamic Route Assignment Combining User Learning and Micro-simulation), โปรแกรม Paramics (PARAllel MICroscopic Simulation) และโปรแกรม Synchro (Traffic Signal Timing Software) เป็นต้น ซึ่งแต่ละวิธีจะประมาณค่าความล่าช้าแตกต่างกันออกไป งานวิจัยนี้จึงต้องการประยุกต์ใช้ทฤษฎีแถวค้อย (Queue Theory)

ในการประมาณค่าความล่าช้าของวงเวียนและศึกษาเปรียบเทียบค่าความล่าช้าของวงเวียนโดยใช้ทฤษฎีเถวคอยกับค่าความล่าช้าของวงเวียนโดยทฤษฎี HCM, ค่าความล่าช้าของวงเวียนที่ได้จากโปรแกรม SIDRA และค่าความล่าช้าที่เกิดขึ้นของวงเวียนที่ได้จากการเก็บข้อมูลภาคสนาม

1.2 วัตถุประสงค์ของการศึกษา

วัตถุประสงค์ของงานวิจัยนี้เพื่อประยุกต์ใช้ทฤษฎีเถวคอยในการประมาณค่าความล่าช้าของวงเวียนและศึกษาเปรียบเทียบค่าความล่าช้าของวงเวียนโดยใช้ทฤษฎีเถวคอยกับค่าความล่าช้าของวงเวียนโดยทฤษฎี HCM, ค่าความล่าช้าของวงเวียนที่ได้จากโปรแกรม SIDRA และค่าความล่าช้าที่เกิดขึ้นของวงเวียนที่ได้จากการเก็บข้อมูลภาคสนาม

1.3 ขอบเขตการศึกษา

การศึกษาเพื่อประยุกต์ใช้ทฤษฎีเถวคอยในการประมาณค่าความล่าช้าของวงเวียนได้ทำการวิจัยภายใต้ขอบเขต ดังนี้

1.3.1 ศึกษาวงเวียนขนาด 1 ช่องจราจร

1.3.2 วิธีการวิเคราะห์การเข้าเถวคอยของรถ ใช้หลักการ 1 ช่องบริการ, การเข้ามาของรถ เป็นแบบกระจายไม่คงที่, ไม่มีจุดจำกัดของจำนวนรถที่รอ และให้บริการแบบมาก่อนรับบริการก่อน M/M/1(∞ , FCFS)

1.3.3 เก็บข้อมูลปริมาณการจราจร และความล่าช้าในการใช้บริการของวงเวียน จำนวน 1 วงเวียน

1.3.4 ศึกษาปริมาณจราจรและความล่าช้าในการใช้บริการของวงเวียน จำนวน 1 วัน ในช่วงเวลาเร่งด่วน 7.00 น. ถึง 9.00 น. และ 16.00 น. ถึง 18.00 น.

1.4 คุณค่าของงานวิทยานิพนธ์

ประโยชน์ที่คาดว่าจะได้รับจากการวิจัย มีดังต่อไปนี้

1.4.1 สามารถให้ความมั่นใจในการนำวิธีวิเคราะห์การเข้าແກրือของรถ ไปใช้ในการวิเคราะห์ความล่าช้าของการจราจรของวงเวียนได้

1.4.2 เป็นประโยชน์ต่อผู้สนใจ เพื่อนำไปศึกษาเพิ่มและใช้เป็นต้นแบบ หรือแนวทาง ใน การศักยภาพในการวิเคราะห์ความล่าช้าของการจราจรของวงเวียนประเภทอื่นๆโดยใช้วิเคราะห์การเข้าແກรือของรถ

บทที่ 2

งานวิจัยและทฤษฎีที่เกี่ยวข้อง

บทนี้เป็นการทบทวนเอกสารงานวิจัยที่เกี่ยวข้องกับการศึกษาโดยแบ่งออกเป็น 2 ส่วน ได้แก่ งานวิจัยที่เกี่ยวข้อง สำหรับน้ำทบทวนซึ่งใช้เป็นแนวทางในการทำวิทยานิพนธ์ และ ทฤษฎีที่เกี่ยวข้องกับงานวิจัย เพื่อนำมาประยุกต์ใช้สำหรับการวิเคราะห์ผลในการทำวิทยานิพนธ์

2.1 งานวิจัยที่เกี่ยวข้อง

กมล ปุ่นศิริ (2542) ประยุกต์ใช้โปรแกรม SIDRA วิเคราะห์สัญญาณไฟจราจร ทางแยกเดียวภายในเมืองหาดใหญ่และเมืองอุบลราชธานี รวมจำนวน 4 ทางแยกได้แก่ สี่แยกหน้ามหาวิทยาลัยสงขลานครินทร์ สี่แยกในราสี แยกสนามบิน และสี่แยกเชื่อมธานี โดยใช้วิธีการคำนวณหาค่าสัญญาณไฟของโปรแกรม SIDRA หรือการดันนาการเคลื่อนที่ ๆ วิกฤตบริเวณทางแยกที่ศึกษา เพื่อเปรียบเทียบผลสำรวจชั้นมูลภาคสนามของความล่าช้าเฉลี่ย และความยาวaccoy อย่างสูงสุด ผลการศึกษาพบว่า ร้อยละความแตกต่างเฉลี่ยของความล่าช้าเฉลี่ยและความยาวคิวสูงสุดของแต่ละทางแยกในเมืองหาดใหญ่และอุบลราชธานี มีค่าเฉลี่ยประมาณ 20-27% และจากการสำรวจพื้นที่จริงและจากแบบจำลองของโปรแกรม SIDRA สรุปได้ว่าผลการวิเคราะห์ความล่าช้าและความยาวaccoy มีความสอดคล้องกับค่าที่วัดได้จากพื้นที่จริงเมื่อไม่นำปริมาณรถจราจ่ายนยนต์มาคิดรวม นอกจากนี้ ยังได้รับการนำโปรแกรม SIDRA มาวิเคราะห์สภาพการจราจรของทางแยกได้อย่างมีประสิทธิภาพก็ต่อเมื่อเป็นทางแยกเดียวและไม่ใกล้กับทางแยกใกล้เคียงจนเกินไป ส่วนข้อจำกัดของโปรแกรม SIDRA ก็คือ การจำลองลักษณะของทางเรขาคณิตของทางแยกไม่สามารถทำได้ถูกต้องตามมาตรฐาน คงทำได้เพียงแสดงรูปว่างลักษณะของทางแยกเท่านั้น

Rahmi Akcelik (2003) ทำการเปรียบเทียบการประมาณค่าขีดจำกัดในการให้บริการของวงเวียนขนาด 1 ช่องจราจรในสหรัฐอเมริกาโดยการใช้โปรแกรม SIDRA, HCM2000, NAASRA 1986 และทฤษฎี UK Linear regression พบร่วมในโปรแกรมแต่ละชนิดประมาณค่าขีดจำกัดในการให้บริการแตกต่างกันเนื่องจากสมมุติฐานและลักษณะทางภูมิประเทศของวงเวียนในแต่ละประเทศแตกต่างกัน โดยค่าขีดจำกัดในการให้บริการขึ้นอยู่กับปริมาณการจราจรในวงเวียน และ

แบ่งช่วงในการพิจารณาเป็น 3 ช่วงได้ดังนี้ ในกรณีที่มีปริมาณการจราจรในวงเวียนน้อย (ประมาณ 0 – 300 คัน/ชั่วโมง) โปรแกรม NAASRA 1986 ประมาณค่าขีดจำกัดในการให้บริการสูงที่สุด รองลงมาคือโปรแกรม SIDRA, ทฤษฎี UK Linear regression และ HCM2000 ตามลำดับ ในกรณีที่มีปริมาณการจราจรในวงเวียนปานกลาง(ประมาณ 300 – 900 คัน/ชั่วโมง) โปรแกรม NAASRA 1986 ประมาณค่าขีดจำกัดในการให้บริการสูงที่สุด รองลงมาคือทฤษฎี UK Linear regression, SIDRA และ HCM2000 ตามลำดับ ในกรณีที่มีปริมาณการจราจรในวงเวียนมาก(มากกว่า 900 คัน/ชั่วโมงขึ้นไป) ทฤษฎี UK Linear regression ประมาณค่าขีดจำกัดในการให้บริการสูงที่สุด รองลงมาคือโปรแกรม NAASRA 1986, HCM2000 และ SIDRA ตามลำดับ

Timothy Oketch (2004) ศึกษาเรื่องการประมาณค่าความล่าช้าของวงเวียนในเมือง Ottawa ประเทศแคนาดาโดยการใช้โปรแกรม PARAMICS เปรียบเทียบกับโปรแกรม SYNCHRO ซึ่งเป็นแบบจำลองแบบน hak (Micro-Simulation Model) พบร่วมกันว่าความล่าช้าที่ประมาณได้จากโปรแกรม SYNCHRO มีค่ามากกว่าที่ได้จากโปรแกรม PARAMICS ในทุกๆกรณี นอกจากนั้นจากการศึกษาโดยใช้โปรแกรม PARAMICS เปรียบเทียบความล่าช้าที่เกิดขึ้นจากขนาดวงเวียนขนาดต่างๆพบว่า ขนาดของวงเวียนก็มีผลในการประมาณค่าความล่าช้าโดยที่ขนาดวงเวียนที่ใหญ่ขึ้นจะส่งผลให้ความล่าช้าเพิ่มขึ้นด้วยเนื่องจากวงเวียนมีขนาดใหญ่ขึ้นส่งผลให้ผู้ขับขี่รถยนต์สามารถใช้ความเร็วในวงเวียนได้มากขึ้น เป็นผลให้ผู้ที่ต้องการขับรถเข้าสู่วงเวียนจะหาช่องว่างที่เหมาะสมในการเข้าสู่วงเวียนได้ยากขึ้น

Rahmi Akcelik (2005) ทำการศึกษาเกี่ยวกับขีดจำกัดในการให้บริการและประสิทธิภาพในการให้บริการของวงเวียนที่ทำการติดตั้งสัญญาณไฟจราจรที่ Melbourne ประเทศออสเตรเลีย โดยใช้โปรแกรม SIDRA พบร่วมกับการติดตั้งสัญญาณไฟจราจรให้กับวงเวียนที่มีปริมาณจราจรที่ไม่สมดุล (Unbalanced Flow) นั้นจะทำให้ระดับการให้บริการของวงเวียนดีขึ้นโดยทำการติดตั้งสัญญาณไฟจราจรให้กับทิศทางที่มีปริมาณการจราจรน้อยและทำการปล่อยอิสระกับทิศทางที่มีปริมาณการจราจรมาก ซึ่งการกระทำอย่างนั้นจะทำให้ความล่าช้าและปริมาณรถในแต่ละช่วงของทิศทางที่ทำการปล่อยอิสระลดลงแต่จะเพิ่มความล่าช้าและปริมาณรถในแต่ละช่วงของทิศทางที่ทำการติดตั้งสัญญาณไฟ

Mark C. Smith (2007) ได้ศึกษาเกี่ยวกับความแม่นยำของแบบจำลองการวิเคราะห์การให้บริการของวงเวียน โดยพิจารณาเลือกวงเวียนที่ City of Nashua, New Hampshire ที่มีลักษณะเป็นวงเวียนขนาด 1 ช่องการจราจร โดยแบ่งการทดสอบออกเป็น 3 กลุ่ม ดังนี้

1. เปรียบเทียบระหว่างการประมาณความล่าช้าโดยวิธี HCM กับวิธีการเก็บข้อมูลภาคสนาม (Traffic Data Collector, TDC) พบว่า โดยทั่วไปวิธี HCM ประมาณค่าความล่าช้าได้น้อยกว่าวิธี TDC

2. เปรียบเทียบระหว่างความล่าช้าที่เก็บข้อมูลโดยวิธี TDC, โปรแกรม RODEL และโปรแกรม SIDRA พบว่าโปรแกรม SIDRA ประมาณความล่าช้าได้ใกล้เคียงกับวิธี TDC ในทางกลับกันโปรแกรม RODEL ประมาณค่าความล่าช้าได้สูงกว่าวิธี TDC และโปรแกรม SIDRA มาก

3. เปรียบเทียบระหว่างเบรียบเทียบระหว่างความล่าช้าที่เก็บข้อมูลโดยวิธี TDC กับโปรแกรม PARAMICS พบว่าโปรแกรม PARAMICS ประมาณค่าความล่าช้าได้ไม่คงที่ โดยขึ้นอยู่กับปริมาณการจราจรในวงเวียน

Maria de Lurdes Simoes (2007) นำเสนอทฤษฎีแควคอยเพื่อใช้ในการประมาณค่าความล่าช้าของสามแยกไฟแดงแบบกึ่งอัตโนมัติ (Semi-Actuated Intersection) ในโปรตุเกส โดยใช้หลักการ M/G/1 พบว่า ทฤษฎีแควคอยโดยใช้หลักการ M/G/1 สามารถประมาณค่าความล่าช้าของสามแยกไฟแดงแบบกึ่งอัตโนมัติได้ดี โดยมีค่าใกล้เคียงกับค่าความล่าช้าที่ได้จากการจำลอง Numerical Simulation of an Intersection (Simoes et al., 2002) ในช่วงที่มีความหนาแน่นของการจราจรมากกว่า 0.7 แต่ในช่วงความหนาแน่นของการจราจรอุ่นกว่า 0.3 ถึง 0.7 ค่าความล่าช้าที่ได้จากทฤษฎีแควคอยจะประมาณค่าความล่าช้าได้ต่ำกว่าแบบจำลอง

2.2 ทฤษฎีที่เกี่ยวข้อง

ทฤษฎีที่นำมาใช้ประกอบการวิเคราะห์เพื่อให้ได้ผลตามวัตถุประสงค์ของงานวิจัยนี้ ประกอบด้วยทฤษฎีหลักๆ 4 ทฤษฎี คือ ทัวไปเกี่ยวกับความล่าช้า, องค์ประกอบทัวไปของวงเวียนขนาด 1 ช่องจราจร, วิธีการวิเคราะห์วงเวียนโดยวิธีของ Highway Capacity Manual (HCM) และ ทฤษฎีแควคอย

2.2.1 ทัวไปเกี่ยวกับความล่าช้า

ความล่าช้า หมายถึง เวลาที่สูญเสียไปในขณะเดินทาง ซึ่งเป็นผลมาจากการบัญชา สภาพการจราจรติดขัด และระบบที่ใช้ควบคุมการจราจร หรือสาเหตุอื่นๆ เช่นในบางครั้งผู้ขับขี่ไม่สามารถจัดการได้ โดยความล่าช้าที่เกิดขึ้นจะแบ่งออกเป็น 4 ประเภท คือ

2.2.1.1 ความล่าช้าคงที่ (Fixed Delay)

เป็นความล่าช้าที่เกิดขึ้นเนื่องจากระบบควบคุมการจราจร ซึ่งต้องเกิดขึ้นเสมอ ไม่ว่าสภาพการจราจรจะมีน้อย หรือมาก เช่น ความล่าช้าที่เกิดขึ้นตรงบริเวณทางแยก โดยอาจจะเป็นทางแยกควบคุมโดยสัญญาณไฟจราจร ไฟกระพริบ ป้ายหยุด ป้ายระวัง หรือจุดตัดกับทางรถไฟ เป็นต้น

2.2.2.2 ความล่าช้าจากบัญชาการจราจร (Operational Delay)

เป็นความล่าช้า ที่มีสาเหตุมาจากการขัดขวางในส่วนของกระแสจราจร ซึ่งอาจจะเป็นผลจากการจราจรในส่วนอื่นที่เกี่ยวข้อง เช่น รถจอด รถเลี้ยว คนข้ามถนน รถเสีย รถจอดซ้อนคัน หรือรถวิ่งตัดกัน นอกจากนั้นยังเป็นผลมาจากการจราจรในตัวมันเอง เช่น การติดขัดเนื่องจากปริมาณรถมาก ความจุของถนนไม่เพียงพอ และลักษณะที่มีการแทรกเข้าหา หรือแยกตัวของกีฬาจากการจราจร

2.2.2.3 ความล่าช้าในการเดินทาง (Travel Delay)

คือผลต่างระหว่างเวลาที่ใช้ในการเดินทางจริงๆ กับเวลาที่ควรจะใช้ถ้าวิ่งด้วยอัตราเร็วเฉลี่ยปกติ และการจราจรมีสภาพคล่องตัวไม่ติดขัด หรือก็คือความล่าช้าที่เกิดขึ้นเนื่องจากการชะลอ (deceleration) เพื่อจะหยุด หรือการเร่ง (acceleration) เพื่อจะเคลื่อนที่ต่อนอกตัวของรถจากสภาพหยุดหรือช้าให้เร็วขึ้น

2.2.2.4 ความล่าช้าจากการหยุด (Stopped-Time Delay)

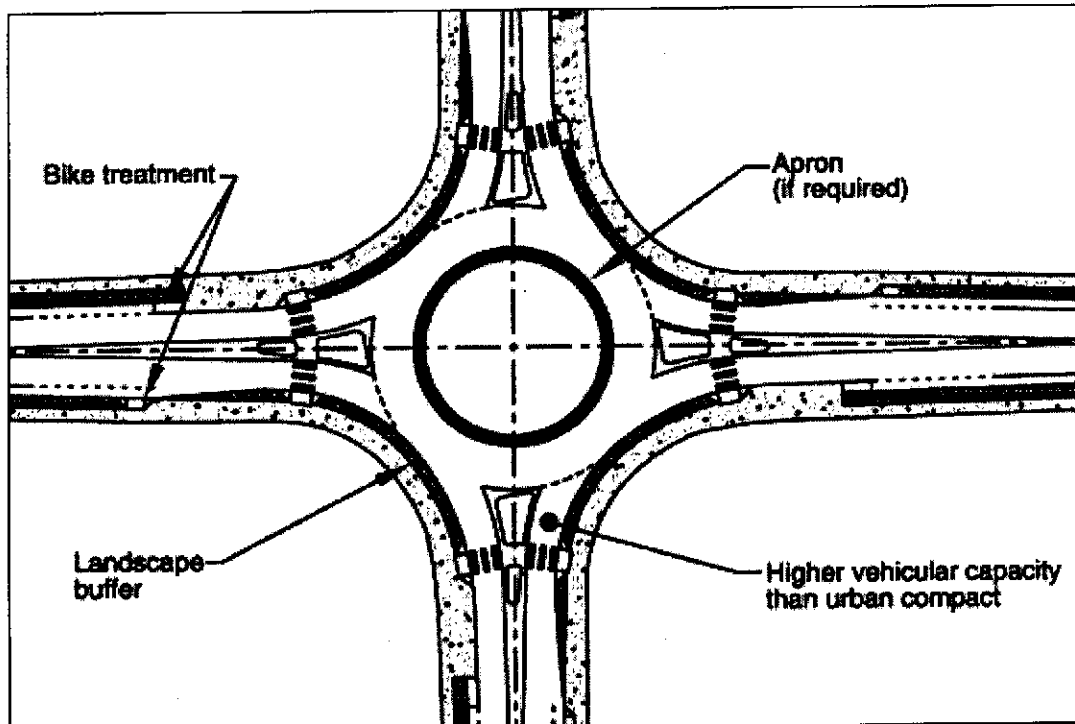
เป็นช่วงเวลาที่รถไม่สามารถเคลื่อนที่ได้ ในระหว่างการเดินทางบนช่วงเส้นทางที่ศึกษา ซึ่งอาจจะเกิดขึ้นเนื่องจากสาเหตุต่างๆ เช่น การเกิดอุบัติเหตุ เป็นต้น ความล่าช้า เป็นสิ่งที่แสดงให้เห็นถึงระดับการบริการได้เป็นอย่างดี โดยทั่วไปจะใช้ประโยชน์ดังนี้

- 1) การประเมินถึงสภาพการแอล้อดของการจราจร
- 2) ประกอบการพิจารณาเกี่ยวกับความพอดเพียงในด้านความจุ และด้านความแอล้อดเพื่อศึกษาถึงแนวทางการแก้ไขปัญหาต่อไป
- 3) การศึกษาเบรียบเทียบลักษณะก่อนที่จะเกิด และ หลังจากการเกิดโครงการ (Before and After Study) เพื่อให้ทราบถึงผลลัพธ์ที่เกิดขึ้นจากการเปลี่ยนแปลง หรือ ปรับปรุง องค์ประกอบ หรือ มาตรการต่างๆ ทางการจราจร เช่น การห้ามจอดรถ หรือปรับเปลี่ยนช่วงเวลา ตลอดจนรูปแบบจังหวะสัญญาณไฟจราจร เป็นต้น
- 4) การกำหนดปริมาณการจราจรบนโครงข่ายถนน
- 5) การศึกษาทางด้านเศรษฐศาสตร์
- 6) การศึกษาแนวโน้มที่ควรจะเป็น หรือการคาดคะเนเกี่ยวกับการจราจรเพื่อยกระดับการบริการที่เวลาต่างๆ ในอนาคต

2.2.2 องค์ประกอบที่ว่าไปของวงเวียนแบบ 1 ช่องจราจร

คุณสมบัติที่ว่าไปของวงเวียนขนาด 1 ช่องจราจรมาตรฐาน FHWAs (Federal Highway Administration) กำหนดไว้ดังต่อไปนี้

- 1) ความเร็วสูงสุดของรถขณะที่เข้าสู่วงเวียน ไม่เกิน 25 กิโลเมตร/ชั่วโมง
- 2) มีจำนวนช่องจราจร 1 ช่องจราจร ก่อนเข้าสู่วงเวียน
- 3) ขนาดเส้นผ่าศูนย์กลางอยู่ระหว่าง 25 – 30 เมตร
- 4) รองรับปริมาณการจราจรทั้ง 4 ทิศทางประมาณ 15,000 คัน/วัน และมีลักษณะที่ว่าไปดังแสดงในภาพที่ 2.1

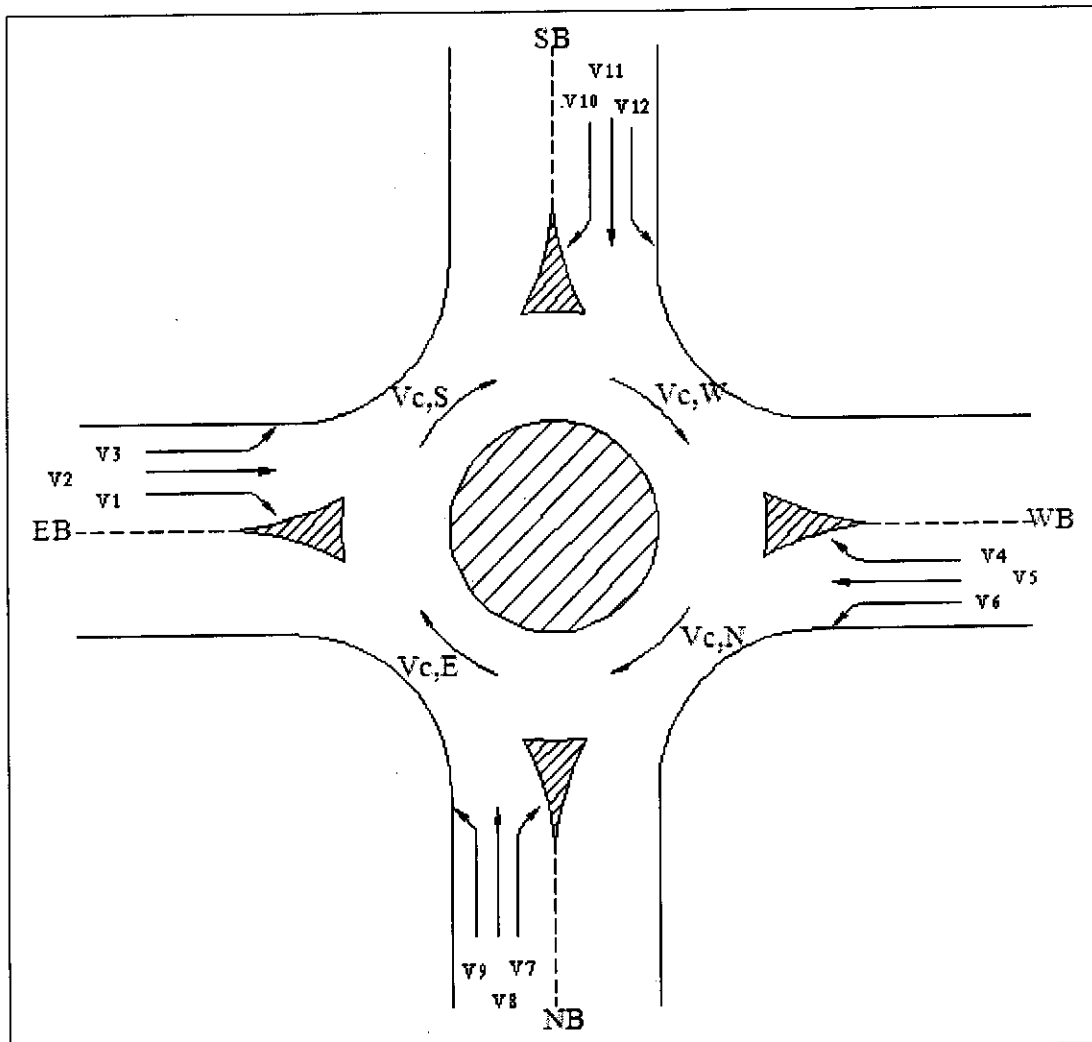


ที่มา: FHWA

ภาพที่ 2.1 ลักษณะทั่วไปของวงเวียนขนาด 1 ช่องจราจร

2.2.3 วิธีการวิเคราะห์วงเวียนโดยวิธีของ Highway Capacity Manual (HCM)

การจราจรแบบวงเวียนสามารถแบ่งทิศทางการจราจรออกเป็น 4 ทิศทางในซองทางหลัก ประกอบด้วยการจราจรจากทิศตะวันตก, ทิศตะวันออก, ทิศเหนือ, ทิศใต้ ซึ่งในแต่ละทิศทางหลักจะมีทิศทางการจราจรอีก 3 ทิศทางคือ เลี้ยวซ้าย เลี้ยวขวา และตรง ตามเครื่องหมายที่ระบุไว้ เช่น V1, V2, V3 และอีก 4 ทิศทางในวงเวียน ดังแสดงในภาพที่ 2.2



ที่มา: ผู้จัด

ภาพที่ 2.2 ทิศทางการจราจรในวงเวียนขนาด 1 ช่องจราจร

โดยมีความหมายดังต่อไปนี้

- | | | |
|----|---|--|
| NB | = | ทิศทางการจราจรที่เข้าสู่วงเวียนจากทางทิศใต้มุ่งสูทิศเหนือ |
| SB | = | ทิศทางการจราจรที่เข้าสู่วงเวียนจากทางทิศเหนือมุ่งสูทิศใต้ |
| EB | = | ทิศทางการจราจรที่เข้าสู่วงเวียนจากทางทิศตะวันตกมุ่งสูทิศตะวันออก |
| WB | = | ทิศทางการจราจรที่เข้าสู่วงเวียนจากทางทิศตะวันออกมุ่งสูทิศตะวันตก |

ส่วนการจราจรในวงเวียนจะเกิดการเคลื่อนที่เป็นวงกลมที่ขัดกับทิศทางการเข้าสู่วงเวียน (Conflicting Circulating Traffic) ซึ่งมีความหมายดังนี้

$V_{C,E}$ = ปริมาณการจราจรที่เคลื่อนที่เป็นวงกลมที่ขัดกับทิศทางการจราจร EB

$V_{C,W}$ = ปริมาณการจราจรที่เคลื่อนที่เป็นวงกลมที่ขัดกับทิศทางการจราจร EW

$V_{C,N}$ = ปริมาณการจราจรที่เคลื่อนที่เป็นวงกลมที่ขัดกับทิศทางการจราจร EN

$V_{C,S}$ = ปริมาณการจราจรที่เคลื่อนที่เป็นวงกลมที่ขัดกับทิศทางการจราจร ES

สามารถทำความเข้าใจเพื่อหาปริมาณการจราจรที่เคลื่อนที่เป็นวงกลมที่ขัดกับทิศทางการจราจจากทิศทางการจราจรดังต่อไปนี้

$V_{C,E}$ = $V4+V7+V8$

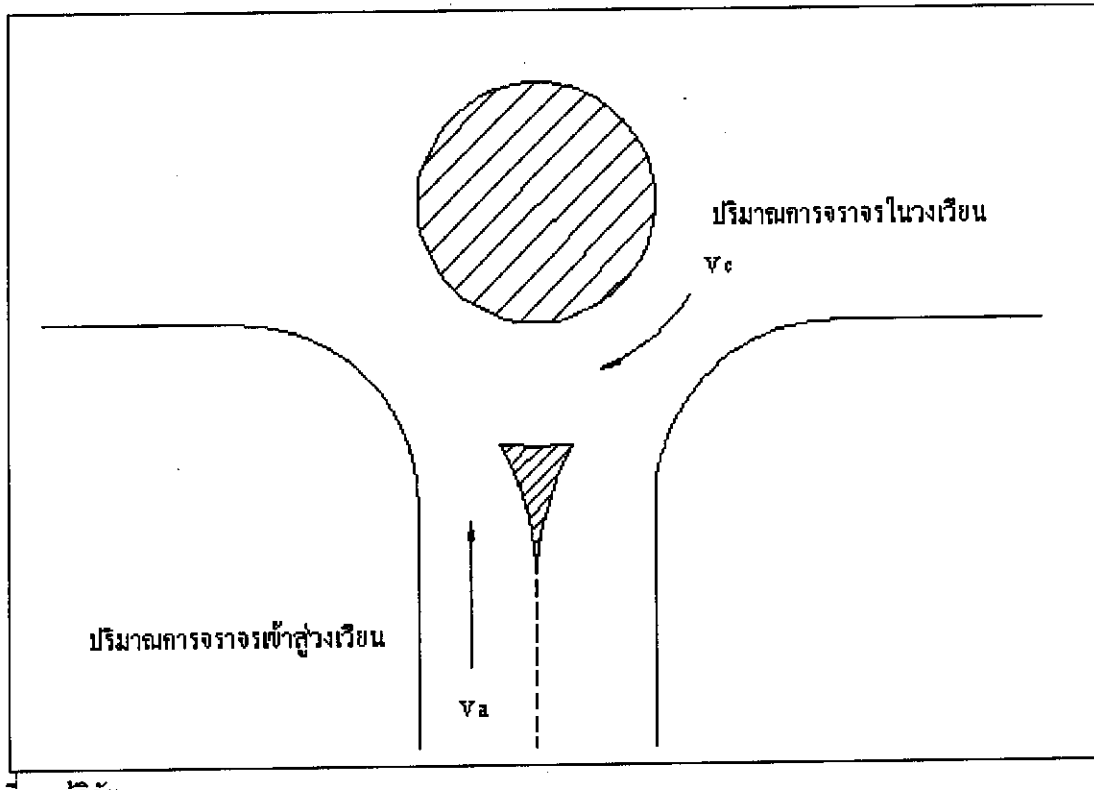
$V_{C,W}$ = $V1+V10+V11$

$V_{C,N}$ = $V4+V5+V10$

$V_{C,S}$ = $V1+V2+V7$

2.2.3.1 ขีดจำกัดในการให้บริการ (Capacity)

ขีดจำกัดในการให้บริการของวงเวียนขนาด 1 ของจราจรสามารถประมาณค่าได้เป็นอิสระต่อกันในแต่ละทิศทางดังแสดงในภาพที่ 2.3 โดยขึ้นอยู่กับปริมาณการจราจรในวงเวียนที่ขัดกับทิศทางการเข้าสู่วงเวียนในทิศทางนั้นๆด้วย เนื่องจากถ้าปริมาณการจราจรในวงเวียนมากจะส่งผลให้จะส่งผลให้ลดโอกาสในการที่ผู้ขับขี่นำรถเข้าสู่วงเวียน เป็นผลให้ขีดจำกัดในการให้บริการของวงเวียนลดลง



ที่มา: ผู้วิจัย

ภาพที่ 2.3 การพิจารณาขีดจำกัดในการให้บริการ

นอกจากนั้นขีดจำกัดในการให้บริการของวงเวียนยังขึ้นอยู่กับช่องว่างวิกฤติ (Critical Gap) และเวลาติดตาม (Follow-Up Time) ของแต่ละพิศทางนั้นๆ สามารถอธิบายความสัมพันธ์ได้ดังนี้ ถ้าวงเวียนมีค่าช่องว่างวิกฤติและเวลาติดตามมาก ก็จะส่งผลให้ลดโอกาสในการที่ผู้ขับขี่นำรถเข้าสู่วงเวียน เป็นผลให้ขีดจำกัดในการให้บริการของวงเวียนลดลง เช่นกัน ซึ่งทาง HCM กำหนดค่าที่ใช้สำหรับวงเวียนไว้เป็นช่วงดังข้อมูลในตารางที่ 2.1

ตารางที่ 2.1

ช่องว่างวิกฤติและเวลาติดตามสำหรับวงเวียน

	ช่องว่างวิกฤติ (วินาที)	เวลาติดตาม (วินาที)
ขอบเขตบน	4.1	2.6
ขอบเขตล่าง	4.6	3.1

ที่มา: HCM

จากความสัมพันธ์ระหว่างปริมาณการจราจรในวงเวียนที่ขัดกับทิศทางการเข้าสู่วงเวียน, ซึ่งว่างวิกฤติและเวลาติดตาม สามารถคำนวณขีดจำกัดในการให้บริการของวงเวียน สามารถคำนวณได้จากสมการดังต่อไปนี้

$$c_a = \frac{v_a e^{-V_a t_c / 3600}}{1 - e^{-V_a t_f / 3600}} \quad (1)$$

โดยที่

- c_a = ขีดจำกัดในการให้บริการ (คัน/ชั่วโมง)
- v_a = ปริมาณการจราจรที่เคลื่อนที่เป็นวงกลมที่ขัดกับทิศทางการจราจร (คัน/ชั่วโมง)
- t_c = ช่วงว่างวิกฤติ (วินาที)
- t_f = เวลาติดตาม (วินาที)

2.2.3.2 ความล่าช้า (Delay)

ความล่าช้าของแต่ละทิศทางนั้นจะขึ้นอยู่กับปริมาณการจราจรของแต่ละทิศทาง กับขีดจำกัดในการให้บริการของวงเวียนของแต่ละทิศทาง และระยะเวลาที่ใช้ในการวิเคราะห์ (Analysis Time Period) ดังนั้นความล่าช้าของวงเวียนสามารถคำนวณได้จากสมการดังต่อไปนี้

$$d = \frac{3600}{c_a} + 900T \times \left[\frac{v_a}{c_a} - 1 + \sqrt{\left(\frac{v_a}{c_a} - 1 \right)^2 + \frac{(3600)}{450 \times T} \left(\frac{v_a}{c_a} \right)} \right] \quad (2)$$

โดยที่

- d = ความล่าช้า (วินาที)
- c_a = ขีดจำกัดในการให้บริการ (คัน/ชั่วโมง)
- v_a = ปริมาณการจราจรที่เคลื่อนที่เข้าสู่วงเวียน (คัน/ชั่วโมง)
- T = ระยะเวลาที่ใช้ในการวิเคราะห์ (ชั่วโมง)

2.2.4 ทฤษฎีแควคอย

ทฤษฎีแควคอยอาศัยหลักการของความน่าจะเป็นและข้อสมมติขององค์ประกอบต่างๆ นลายประการด้วยกัน ดังนี้

1) การแจกแจงของช่วงเวลาการมาใช้บริการ (Distribution of Arrival Times) คือ ระยะเวลาของกิจกรรมมาใช้บริการ ซึ่งจะมีการแจกแจงความน่าจะเป็นของช่วงเวลาห่างการมาใช้บริการที่แตกต่างกันออกไป เช่น มีการแจกแจงแบบสุ่ม (Random Distribution) เป็นต้น

2) การแจกแจงของเวลาในการให้บริการ (Distribution of Service Times) คือ ช่วงระยะเวลาของกิจกรรมให้บริการ ซึ่งจะมีการแจกแจงความน่าจะเป็นที่แตกต่างกันออกไป เช่นเดียวกันกับการแจกแจงของช่วงเวลาการมาใช้บริการ

3) วิธีการให้บริการ (Service Methods) คือ การเลือกวิธีการให้บริการแก่ลูกค้าที่เข้ามารับบริการ ซึ่งมีด้วยกันหลายวิธี เช่น จำนวนมากต้องได้รับบริการก่อน (First in-First out, FIFO) การให้บริการแบบสุ่ม (Service in Random Order, SIRO) หรือมาหลังสุดได้รับบริการก่อน (Last in-First out, LIFO) เป็นต้น

4) ความยาวของแควคอย (Queue Length) คือ ความยาวที่เกิดจากจำนวนผู้เข้ามาใช้บริการเข้าแควคอยเพื่อรอใช้บริการ โดยระบุว่าจะมีการจำกัดความยาวของแควคอย หรือไม่มีการจำกัดความยาวของแควคอยโดยวัดเป็นจำนวนลูกค้าที่รอรับบริการอยู่

5) จำนวนช่องบริการ (Service Channels) คือ จำนวนช่องบริการที่ให้บริการแก่ลูกค้าที่เข้ามารับบริการ เช่น มี 1 ช่องบริการ หรือหลายช่องบริการ เป็นต้น

6) สถานะภาพของระบบ (System States) คือ สถานะของแควคอยที่เป็นอยู่ในขณะนั้น จะเป็นไปได้ 2 แบบ คือ แควคอยที่อยู่ในสภาพเลยจุดอิ่มตัว (Over Saturated Queues) เกิดขึ้นเมื่ออัตราการมาใช้บริการมีมากกว่าอัตราการให้บริการ และแควคอยที่อยู่ภายใต้สภาพอิ่มตัว (Under Saturated Queues) เมื่ออัตราการมาใช้บริการมีน้อยกว่าอัตราการให้บริการ

รูปแบบทั่วไปที่ใช้แสดงสถานะของระบบแควคอยจะอยู่ในรูป A/B/X/Y/Z เพื่อใช้แทนคุณลักษณะต่างๆ ของระบบ โดยที่

A และ B หมายถึง รูปแบบการแจกแจงช่วงเวลาห่างการมาใช้บริการ และเวลาการให้บริการตามลำดับซึ่งจะแทนด้วยสัญลักษณ์ดังนี้

- M แทนการแจกแจงแบบพื้นของ (Poisson Distribution) หรือการแจกแจงแบบ
- D แทนการแจกแจงแบบคงที่ (Constant)

G แผนการแจกแจงแบบทั่วไป (General and Distribution) เฉพาะของช่วงเวลา ระหว่างการมาใช้บริการเท่านั้น

E แผนการแจกแจงแบบเอกอัคร์ลง (Eroang Distribution)

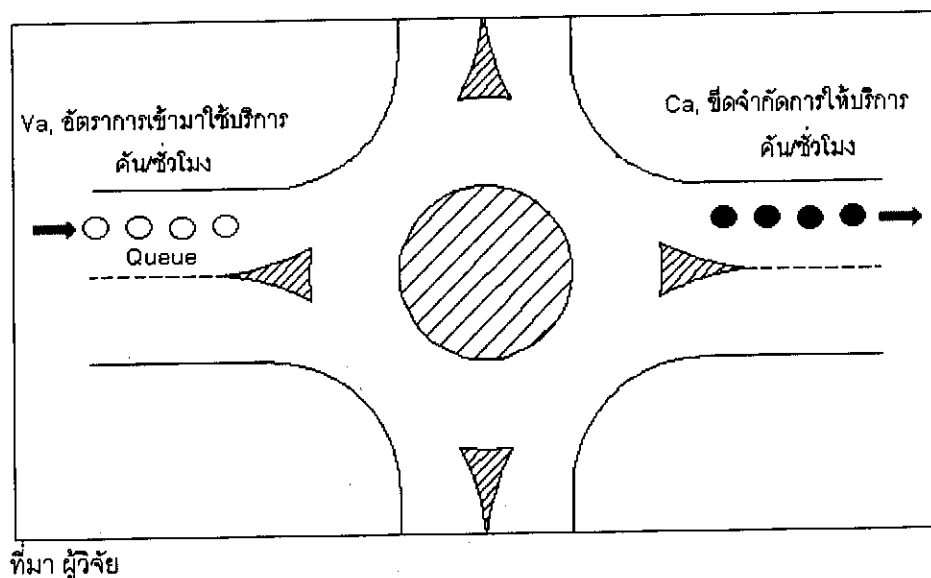
X หมายถึงจำนวนช่องบริการ

Y หมายถึงความยาวสูงสุดที่ยอมให้เกิดขึ้นของ隊คอย

Z หมายถึงวิธีการให้บริการลูกค้า

ตัวอย่างเช่น M/D/1/ ∞ /FIFO ใช้แผนแทคคอยที่มีการแจกแจงของช่วงเวลาระหว่างการมาใช้บริการเป็นแบบสุ่ม ระยะเวลาของการให้บริการเป็นแบบคงที่ มีช่องบริการ 1 ช่อง บริการ โดยมีความยาวของแทคคอยแบบไม่จำกัด และการให้บริการแก่ลูกค้าเป็นแบบมาก่อนได้รับบริการก่อน แต่โดยทั่วไปจะนิยมบอกสถานะของระบบเฉพาะ 3 ตัวแรก เช่น M/D/1 เป็นต้น

แบบจำลองของแทคคอยระบบ M/M/1 ในงานวิศวกรรมจราจรสำหรับวงเวียนขนาด 1 ช่องจราจร เป็นระบบแทคคอยที่มีสูตรการคำนวนไม่ซับซ้อนและมีรูปแบบการแจกแจงของการมาใช้บริการเป็นแบบพัชของ กล่าวคือปริมาณการจราจรที่เข้าสู่วงเวียนในแต่ละช่วงเวลาในชั่วโมงมีลักษณะเป็นแบบไม่แน่นอน เป็นอิสระต่อกัน มีการกระจายตัวอย่างสม่ำเสมอ โดยมีอัตราเฉลี่ยของการมาใช้บริการเป็น v_a คันต่อชั่วโมง และช่วงระยะเวลาของการให้บริการมีลักษณะเป็นแบบต่อเนื่องซึ่งมีการการแจกแจงเป็นแบบเลขรีทั่ง ด้วยอัตราเฉลี่ยของการให้บริการเป็น c_a คันต่อชั่วโมง ภายใต้เงื่อนไขที่ยังไม่ถึงจุดอิมตัว (Under Saturated, $c_a > v_a$) มีช่องบริการ 1 ช่อง บริการดังแสดงในภาพที่ 2.4



ภาพที่ 2.4 รูปแบบของแทคคอยแบบ 1 ช่องบริการ

จากเงื่อนไขดังกล่าว เราสามารถคำนวณความล่าช้าที่เกิดขึ้นในแ egal ค่ายระบบ M/M/1 ได้ดังนี้

$$d = \frac{1}{c_a - v_a} * 3600 \quad (3)$$

โดยที่

- | | | |
|-------|---|---|
| d | = | ความล่าช้า (วินาที) |
| c_a | = | จีดจำกัดในการให้บริการ (คัน/ชั่วโมง) |
| v_a | = | ปริมาณรถที่เคลื่อนที่เข้าสู่วงเวียน (คัน/ชั่วโมง) |

บทที่ 3

ขั้นตอนการดำเนินงานวิจัย

บทนี้จะกล่าวถึงขั้นตอนการศึกษาและการเก็บข้อมูล ซึ่งในงานวิจัยนี้จะแบ่งการศึกษาออกเป็น 3 ส่วนก้างๆ ในส่วนแรกจะทำการศึกษาเบรียบเทียบค่าความล่าช้าของวงเวียนโดยใช้ทฤษฎีแคลคูลัสกับค่าความล่าช้าของวงเวียนโดยทฤษฎี HCM ส่วนที่สองจะทำการศึกษาเบรียบเทียบค่าความล่าช้าของวงเวียนโดยใช้ทฤษฎีแคลคูลัสกับค่าความล่าช้าของวงเวียนที่ได้จากโปรแกรม SIDRA ส่วนสุดท้ายจะทำการศึกษาเบรียบเทียบค่าความล่าช้าของวงเวียนโดยใช้ทฤษฎีแคลคูลัสกับค่าความล่าช้าของวงเวียนที่ได้จากการเก็บข้อมูลภาคสนาม โดยทั้ง 3 ส่วนมีวิธีการศึกษาดังนี้

3.1 เปรียบเทียบค่าความล่าช้าของวงเวียนโดยใช้ทฤษฎีแคลคูลัสกับทฤษฎี HCM

ทำการศึกษาเบรียบเทียบค่าความล่าช้าของวงเวียนโดยใช้ทฤษฎีแคลคูลัสกับค่าความล่าช้าที่ได้จากการประมาณโดยทฤษฎี HCM ที่เกิดขึ้นในทิศตะวันตก (EB) โดยทำการจำลองปริมาณการเข้ามาใช้บริการในทิศตะวันตกของวงเวียนให้มีปริมาณการเข้ามาใช้บริการเพิ่มขึ้นจากน้อยไปมากโดยเพิ่มในทิศทางเดียวขวา จนกระทั่งเต็มขีดจำกัดในการให้บริการของวงเวียนส่วนในทิศทางอื่นๆ กำหนดให้ปริมาณการเข้ามาใช้บริการของวงเวียนคงที่เท่ากับ 25 คัน/ชั่วโมง และเลือกใช้ค่าซองว่างวิกฤติและเวลาติดตาม โดยใช้ค่ากึ่งกลางของขอบเขตบนและขอบเขตล่างตามที่ HCM แนะนำให้ใช้(ตารางที่ 2.1) คือ ซองว่างวิกฤติเท่ากับ 4.35 วินาที และเวลาติดตามเท่ากับ 2.85 วินาที โดยจะให้ค่าความคลาดเคลื่อน ระหว่าง $\pm 10\%$ จะเป็นค่าที่รถยนต์นั่งส่วนบุคคล (Passenger Car Units, PCU) ใช้ในการเดินทางเข้าสู่วงเวียน และงานวิจัยนี้ จะเลือกเวลาที่ใช้ในการวิเคราะห์ที่ 15 นาที ($T = 0.25$ สำหรับช่วงเวลา 15 นาที)

3.2 เปรียบเทียบค่าความล่าช้าของวงเวียนโดยใช้ทฤษฎีแคลคูลัสกับโปรแกรม SIDRA

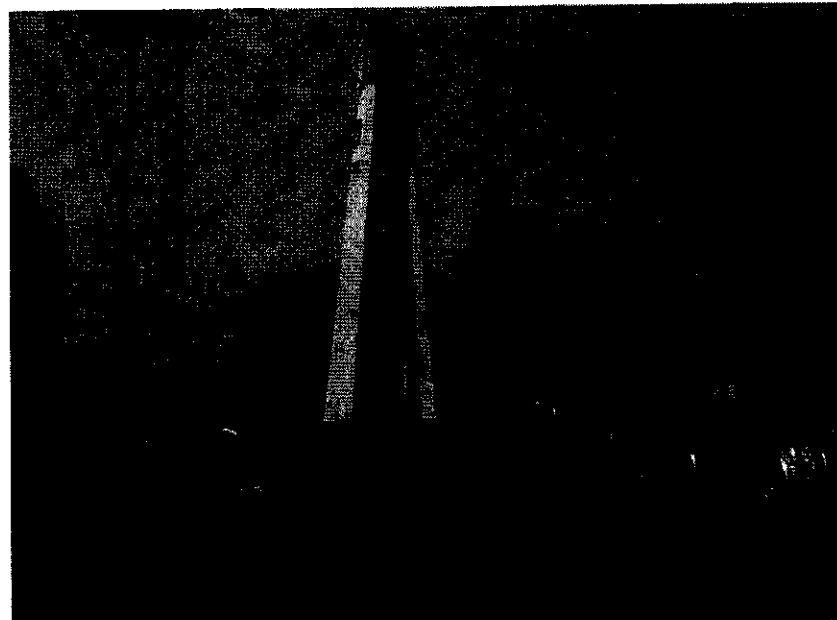
ทำการศึกษาเบรียบเทียบค่าความล่าช้าของวงเวียนโดยใช้ทฤษฎีแคลคูลัสกับค่าความล่าช้าที่ได้จากการประมาณโดยโปรแกรม SIDRA ที่เกิดขึ้นในทิศตะวันตก (EB) โดยทำการจำลองปริมาณการเข้ามาใช้บริการในทิศตะวันตกของวงเวียนให้มีปริมาณการเข้ามาใช้บริการเพิ่มขึ้นจาก

น้อยไปมากโดยเพิ่มในทิศทางเดียวข้าว จนกระทั่งเต็มขีดจำกัดในการให้บริการของวงเวียน ส่วนในทิศทางอื่นๆ กำหนดให้ปริมาณการเข้ามาใช้บริการของวงเวียนคงที่เท่ากับ 25 คัน/ชั่วโมง ซึ่งในงานวิจัยครั้งนี้ได้เลือกใช้ค่าตัวแปรที่สำคัญต่างๆ ที่มีผลต่อการวิจัยดังต่อไปนี้

อัตราการไหลของกระแสจราจร	= 60 นาที
ไม่คิดผลกระทบของรถบรรทุก	
เส้นผ่าศูนย์กลางของเกาะกลางวงเวียน	= 20 เมตร
ความกว้างของช่องจราจรในวงเวียน	= 5 เมตร
จำนวนช่องจราจรในวงเวียน	= 1 ช่อง
จำนวนช่องจราจรก่อนเข้าสู่วงเวียน	= 1 ช่อง
ความชันของช่องจราจร	= 0 องศา
ความกว้างของช่องจราจรก่อนเข้าสู่วงเวียน	= 3.6 เมตร
อัตราการไหลที่จุดอิมตัว	= 1800 คัน/ชั่วโมง
อัตราความเร็วก่อนเข้าสู่วงเวียน	= 25 กิโลเมตร/ชั่วโมง

3.3 เปรียบเทียบค่าความล่าช้าของวงเวียนโดยใช้ทฤษฎีแตกอยกับความล่าช้าในภาคสนาม

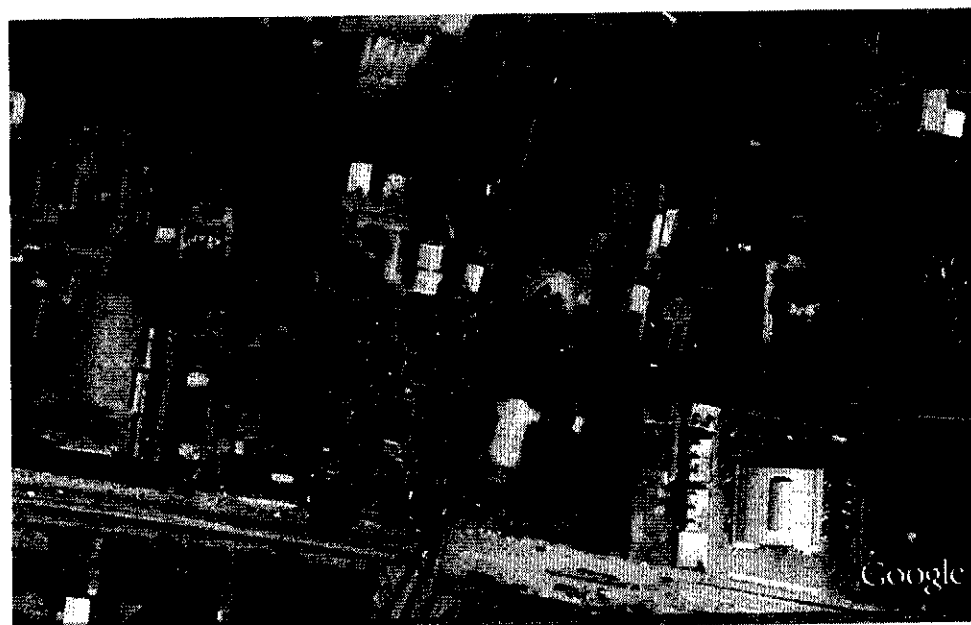
งานวิจัยนี้ได้ทำการเลือกวงเวียนหนองพิกานหนองจอก เขตหนองจอก กรุงเทพมหานคร เป็นจุดที่ทำการสำรวจข้อมูล มีเส้นผ่าศูนย์กลางของเกาะกลางวงเวียนมีขนาด 20 เมตร ความ กว้างของช่องจราจรในวงเวียนมีขนาด 5 เมตร ความกว้างของช่องจราจรก่อนเข้าสู่วงเวียนมีขนาด 4 เมตร จำนวนช่องจราจรก่อนเข้าสู่วงเวียนมีจำนวน 1 ช่องและจำนวนช่องจราจรในวงเวียนมี จำนวน 1 ช่อง ดังแสดงตามภาพที่ 3.1



ที่มา ผู้เขียน

ภาพที่ 3.1 ภาพวงเวียนหนองพิกาหนองจาก

วงเวียนหนองพิกาหนองจาก เป็นวงเวียนบนจุดตัดระหว่างถนนเชื่อมสัมพันธ์และถนนบุรี
กิริมย์ ตามภาพที่ 3.2



ที่มา Google Earth

ภาพที่ 3.2 ภาพถ่ายทางอากาศของวงเวียนหนองพิกาหนองจาก

การสำรวจข้อมูลการจราจรครั้งนี้ประกอบด้วย

1) ปริมาณการจราจรบริเวณวงเวียน โดยทำการเก็บข้อมูลปริมาณการจราจร และบันทึกเป็นช่วงเวลาทุกๆ 15 นาที ในช่วงเวลา 7.00 น. - 9.00 น. และในช่วง 16.00 น. – 18.00 น. โดยแยกตามทิศทางการเคลื่อนตัวของการจราจรที่บริเวณวงเวียน อันได้แก่ รถเลี้ยวซ้าย, รถตรง, และรถเลี้ยวขวาของแต่ละด้านของวงเวียน นอกจากนี้ยังจำแนกประเภทของรถออกเป็น 8 ประเภท หลังจากนั้นทำการปรับเทียบประเภทของรถทั้ง 8 ประเภทให้เป็นหน่วยค่าเทียบเท่ารถยนต์นั่งส่วนบุคคล (หน่วยค่าเทียบเท่ารถยนต์นั่งส่วนบุคคลเป็นหน่วยที่ใช้แปลงยอดยานแต่ละประเภทที่มีทั้งขนาดและลักษณะการใช้งานที่แตกต่างกัน ให้มาอยู่ในหน่วยเดียวกัน หรือเรียกว่า PCE) ดังข้อมูลในตารางที่ 3.1

ตารางที่ 3.1

ประเภทยานพาหนะและตัวปรับแก้ค่าเทียบเท่ารถยนต์นั่งส่วนบุคคล

ประเภทยานพาหนะและตัวปรับแก้ค่าเทียบเท่ารถยนต์นั่งส่วนบุคคล	
รถจักรยานยนต์ และสามล้อเครื่อง	0.25
รถยนต์นั่งส่วนบุคคลและรถบรรทุกเล็ก 4 ล้อ	1
รถโดยสารขนาดเล็ก และรถโดยสารขนาดกลาง	1.5
รถโดยสารขนาดใหญ่	2.0
รถบรรทุกขนาดกลาง 6 ล้อ	2.0
รถบรรทุกขนาดใหญ่	2.5
รถพ่วง และรถเก๊งพ่วง	2.5
รถประเภทอื่นๆ	1.0

ที่มา : โครงการศึกษาแนวทางพัฒนา โครงการระบบขนส่งมวลชนกรุงเทพมหานคร

ส่วนต่อขยายโดยรวม, พ.ศ.2547

หลังจากนั้นนำปริมาณการจราจรบริเวณวงเวียนที่สำรวจได้ในแต่ละช่วงเวลา มาทำการคำนวณหาค่าความล่าช้าของวงเวียนโดยใช้ทฤษฎีแอกโอด, ทฤษฎี HCM และโปรแกรม SIDRA

2) ความล่าช้าที่เกิดขึ้นจากการใช้บริการวงเวียน โดยทำการเก็บข้อมูลความล่าช้าจำนวน 1 ทิศทาง ซึ่งงานวิจัยนี้ได้ทำการเลือกทิศทางที่มุ่งเข้าสู่วงเวียนจากทิศเหนือเป็นทิศทางที่ใช้เก็บข้อมูล โดยทำการเก็บข้อมูลความล่าช้าและบันทึกเป็นช่วงเวลาทุกๆ 15 นาที ในช่วงเวลา 7.00 น. - 9.00 น. และในช่วง 16.00 น. – 18.00 น หลังจากนั้นนำค่าความล่าช้าที่สำรวจได้ในแต่

จะช่วงเวลา มาทำการเปรียบเทียบกับค่าความล่าช้าของวงเวียนโดยใช้ทฤษฎีแฉคอย, ทฤษฎี HCM และโปรแกรม SIDRA

บทที่ 4

การวิเคราะห์ข้อมูลและการศึกษา

บทนี้เป็นการวิเคราะห์ถึงผลการศึกษาในการประยุกต์ใช้ทฤษฎีaccoy เพื่อใช้ในการประเมินค่าความล่าช้าของวงเวียนและศึกษาเบรยนเพื่อบรรณาจัดค่าความล่าช้าของวงเวียนโดยใช้ทฤษฎีaccoy แก่ค่าความล่าช้าของวงเวียนโดยทฤษฎีHCM, ค่าความล่าช้าของวงเวียนที่ได้จากการโปรแกรม SIDRA และค่าความล่าช้าที่เกิดขึ้นของวงเวียนที่ได้จากการเก็บข้อมูลภาคสนาม ซึ่งผลการศึกษามีรายละเอียดดังต่อไปนี้

4.1 เปรียบเทียบความล่าช้าของวงจรยินโดยทฤษฎีแกวcoil กับทฤษฎี HCM

เมื่อทำการจำลองการเข้ามาใช้บริการของวงเวียนในทิศตะวันตก โดยกำหนดให้เพิ่มจากน้อยไปมากโดยเพิ่มในทิศทางเดียวๆ จนกระทั่งเต็มชีดจำกัดในการให้บริการของวงเวียน ส่วนในทิศทางอื่นๆ กำหนดให้ปริมาณการเข้ามาใช้บริการของวงเวียนคงที่ โดยกำหนดปริมาณการจราจรในทิศทางอื่นๆเท่ากับ 25 คน/ชั่วโมง ตั้งข้อมูลตามตารางที่ 4.1

ตารางที่ 4.1

ปริมาณการจราจรในการเปรียบเทียบความล่าช้าของวงเวียนโดยทฤษฎีเดาอยกับทฤษฎี HCM

ลำดับ	ปริมาณจราจร (คัน/ชั่วโมง)											
	ทิศตะวันตก			ทิศตะวันออก			ทิศใต้			ทิศเหนือ		
	ขวา	ตรง	ซ้าย	ขวา	ตรง	ซ้าย	ขวา	ตรง	ซ้าย	ขวา	ตรง	ซ้าย
33	825	25	25	25	25	25	25	25	25	25	25	25
34	850	25	25	25	25	25	25	25	25	25	25	25
35	875	25	25	25	25	25	25	25	25	25	25	25
36	900	25	25	25	25	25	25	25	25	25	25	25
37	925	25	25	25	25	25	25	25	25	25	25	25
38	950	25	25	25	25	25	25	25	25	25	25	25
39	975	25	25	25	25	25	25	25	25	25	25	25
40	1000	25	25	25	25	25	25	25	25	25	25	25
41	1025	25	25	25	25	25	25	25	25	25	25	25
42	1050	25	25	25	25	25	25	25	25	25	25	25
43	1075	25	25	25	25	25	25	25	25	25	25	25
44	1100	25	25	25	25	25	25	25	25	25	25	25
45	1125	25	25	25	25	25	25	25	25	25	25	25

ที่มา: ผู้วิจัย

ผลของประยุกต์ใช้ทฤษฎีแอกโคลอยในการประมาณค่าความล่าช้าของวงเวียนซึ่งสามารถคำนวณได้จากการ (3) และศึกษาเปรียบเทียบค่าความล่าช้าของวงเวียนโดยใช้ทฤษฎีแอกโคลอยกับค่าความล่าช้าของวงเวียนโดยทฤษฎี HCM ซึ่งสามารถคำนวณได้จากการ (2) โดยใช้ข้อมูลข้อมูลปริมาณการจราจรในตารางที่ 4.1 สามารถแสดงได้ตามตารางที่ 4.2

ตารางที่ 4.2

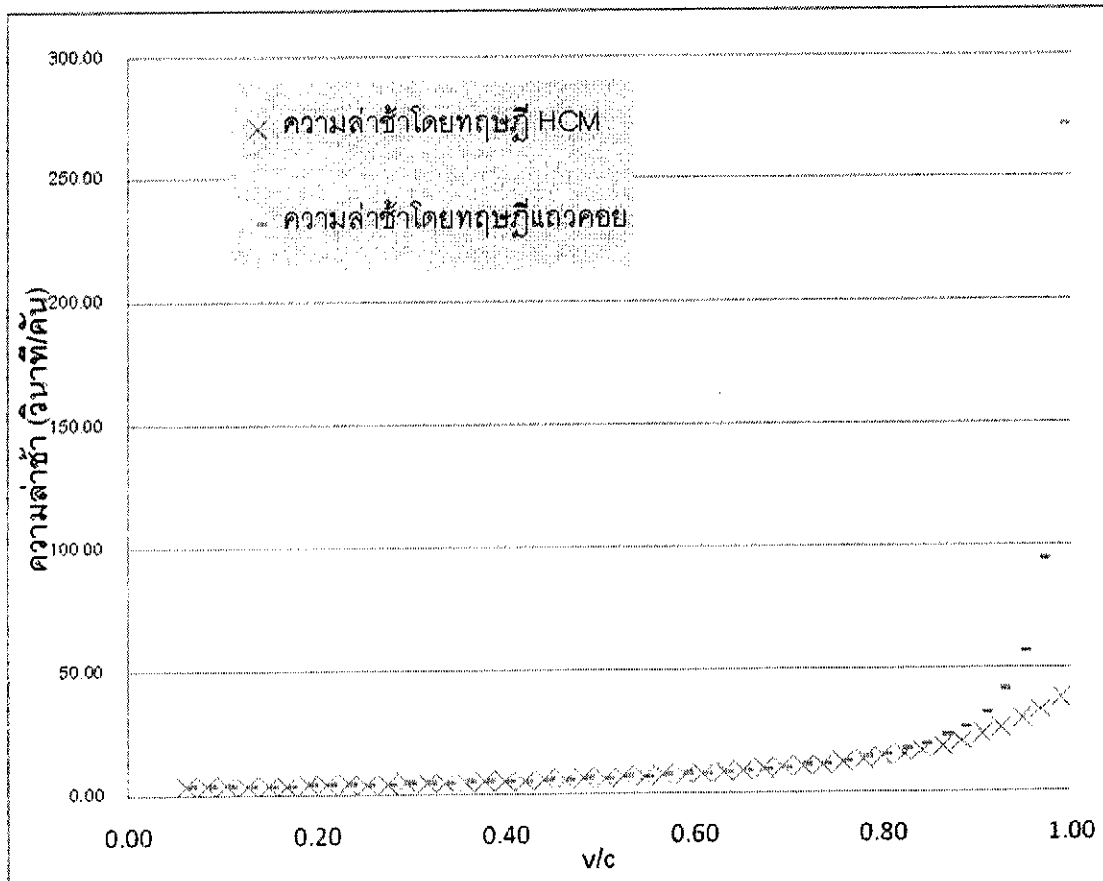
ผลของการประมาณค่าความล่าช้าของวงเวียนโดยใช้ทฤษฎีແຄวคอยเบรียบเทียบกับทฤษฎี HCM

ลำดับ	ปริมาณการจราจร ในทิศตะวันตก (คัน/ชั่วโมง)	ชีดจำกัดใน การให้บริการ (คัน/ชั่วโมง)	v/c	ความล่าช้า (วินาที/คัน)		ความแตกต่าง (ร้อยละ)
				ทฤษฎี HCM	ทฤษฎีແຄวคอย	
1	75	1188	0.06	3.23	3.23	0.00
2	100	1188	0.08	3.31	3.31	0.00
3	125	1188	0.11	3.39	3.39	0.00
4	150	1188	0.13	3.47	3.47	0.00
5	175	1188	0.15	3.55	3.55	0.00
6	200	1188	0.17	3.64	3.64	0.00
7	225	1188	0.19	3.74	3.74	0.00
8	250	1188	0.21	3.83	3.84	0.05
9	275	1188	0.23	3.94	3.94	0.06
10	300	1188	0.25	4.05	4.05	0.08
11	325	1188	0.27	4.17	4.17	0.09
12	350	1188	0.29	4.29	4.29	0.12
13	375	1188	0.32	4.42	4.43	0.14
14	400	1188	0.34	4.56	4.57	0.17
15	425	1188	0.36	4.71	4.72	0.21
16	450	1188	0.38	4.86	4.88	0.25
17	475	1188	0.40	5.03	5.05	0.30
18	500	1188	0.42	5.21	5.23	0.35
19	525	1188	0.44	5.40	5.43	0.42
20	550	1188	0.46	5.61	5.64	0.49
21	575	1188	0.48	5.84	5.87	0.58
22	600	1188	0.50	6.08	6.12	0.69
23	625	1188	0.53	6.34	6.39	0.81
24	650	1188	0.55	6.62	6.69	0.96
25	675	1188	0.57	6.93	7.01	1.13

ลำดับ	ปริมาณการจราจร ในพื้นที่ตัวบ่งชี้ (คัน/ชั่วโมง)	ชีดจำกัดใน การให้บริการ (คัน/ชั่วโมง)	v/c	ความล่าช้า (วินาที/คัน)		ความแตกต่าง (ร้อยละ)
				ทุษฎี HCM	ทุษฎีแยกอย	
26	700	1188	0.59	7.27	7.37	1.34
27	725	1188	0.61	7.65	7.77	1.59
28	750	1188	0.63	8.06	8.21	1.89
29	775	1188	0.65	8.52	8.71	2.26
30	800	1188	0.67	9.03	9.27	2.71
31	825	1188	0.69	9.60	9.91	3.27
32	850	1188	0.72	10.24	10.64	3.96
33	875	1188	0.74	10.96	11.49	4.84
34	900	1188	0.76	11.78	12.49	5.96
35	925	1188	0.78	12.73	13.67	7.41
36	950	1188	0.80	13.82	15.11	9.33
37	975	1188	0.82	15.08	16.88	11.92
38	1000	1188	0.84	16.55	19.12	15.49
39	1025	1188	0.86	18.28	22.04	20.58
40	1050	1188	0.88	20.32	26.03	28.09
41	1075	1188	0.90	22.73	31.77	39.79
42	1100	1188	0.93	25.57	40.77	59.42
43	1125	1188	0.95	28.92	56.86	96.66
44	1150	1188	0.97	32.82	93.98	186.37
45	1175	1188	0.99	37.31	270.51	625.02

ที่มา: ผู้วิจัย

โดยเมื่อนำค่าความล่าช้าของวงเวียนโดยใช้ทุษฎีแยกอยและค่าความล่าช้าของวงเวียนโดยทุษฎี HCM จากตารางที่ 4.2 มาสร้างกราฟระหว่างความล่าช้าของวงเวียนกับ v/c จะได้ดังภาพที่ 4.1



ที่มา: ผู้วิจัย

ภาพที่ 4.1 กราฟแสดงความสัมพันธ์ระหว่างการประมาณค่าความล่าช้าของวงเวียนโดยใช้ทฤษฎีແວຄອຍและทฤษฎี HCM กับ v/c

ผลของการเปรียบเทียบค่าความล่าช้าของวงเวียนโดยใช้ทฤษฎีແວຄອຍกับค่าความล่าช้าของวงเวียนโดยทฤษฎี HCM พบว่าความล่าช้าที่ประมาณได้จากทฤษฎีແວຄອยมีค่าใกล้เคียงกับความล่าช้าที่ประมาณได้จากทฤษฎี HCM ในช่วงที่มีค่า v/c ตั้งแต่ 0.00 จนถึง 0.50 และความล่าช้าที่ประมาณได้จากทฤษฎีແວຄอยจะเริ่มมากกว่าความล่าช้าที่ประมาณได้จากทฤษฎี HCM โดยตลอดจนกราฟทั้ง v/c มีค่าเท่ากับ 1.00

4.2 เปรียบเทียบความล่าช้าของวงเวียนโดยทฤษฎีและคุณกับโปรแกรม SIDRA

เมื่อทำการจำลองการเข้ามาใช้บริการของวงเวียนในทิศทางนั้นๆ โดยกำหนดให้เพิ่มจากน้อยไปมากโดยเพิ่มในทิศทางเดียวขึ้น จนกระทั่งเต็มชีดจำกัดในการให้บริการของวงเวียน ส่วนในทิศทางอื่นๆ กำหนดให้ปริมาณการเข้ามาใช้บริการของวงเวียนคงที่ โดยกำหนดปริมาณการจราจรในทิศทางอื่นๆ เท่ากับ 25 คน/ชั่วโมง ดังข้อมูลตามตารางที่ 4.3

ตารางที่ 4.3

ปริมาณการจราจรในการเบร์ยับเทียบความล่าช้าของวงเวียนโดยทุกช่วงเวลาโดย
กับโปรแกรม SIDRA

ลำดับ	ปริมาณจราจร (คัน/ชั่วโมง)											
	ทิศตะวันตก			ทิศตะวันออก			ทิศใต้			ทิศเหนือ		
	ขวา	ตรง	ซ้าย	ขวา	ตรง	ซ้าย	ขวา	ตรง	ซ้าย	ขวา	ตรง	ซ้าย
43	1075	25	25	25	25	25	25	25	25	25	25	25
44	1100	25	25	25	25	25	25	25	25	25	25	25
45	1125	25	25	25	25	25	25	25	25	25	25	25

ที่มา: ผู้วิจัย

ผลของประยุกต์ใช้ทฤษฎีแฉคอยในการประมาณค่าความล่าช้าของวงเวียนซึ่งสามารถคำนวณได้จากสมการ (3) และศึกษาเปรียบเทียบค่าความล่าช้าของวงเวียนโดยใช้ทฤษฎีแฉคอย กับค่าความล่าช้าของวงเวียนโดยโปรแกรม SIDRA โดยใช้ข้อมูลข้อมูลปริมาณการจราจรในตารางที่ 4.3 สามารถแสดงได้ตามตารางที่ 4.4

ตารางที่ 4.4

เปรียบเทียบความล่าช้าของวงเวียนโดยทฤษฎีแฉคอยกับโปรแกรม SIDRA

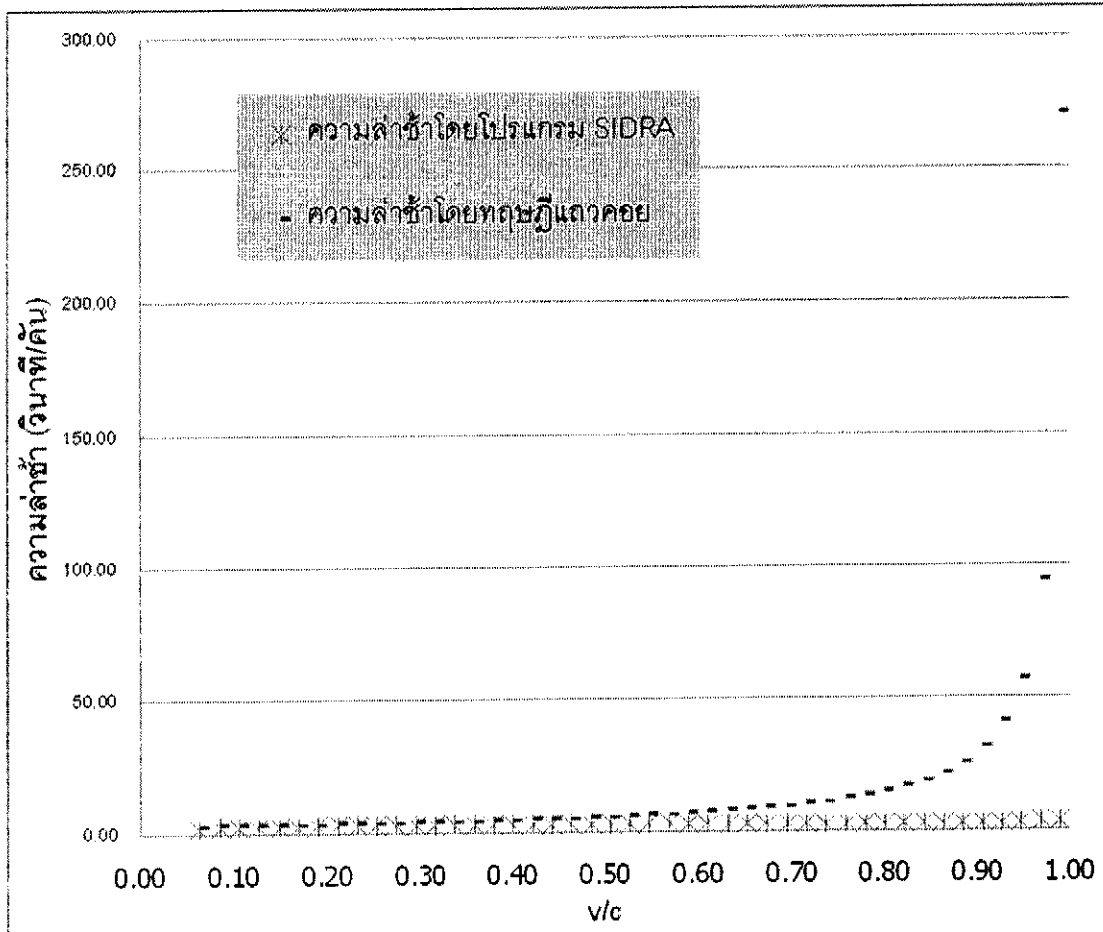
ลำดับ	ปริมาณการจราจร ในทิศตะวันตก (คัน/ชั่วโมง)	ขีดจำกัดในการให้บริการ (คัน/ชั่วโมง)	v/c	ความล่าช้า (วินาที/คัน)		ความแตกต่าง (ร้อยละ)
				โปรแกรม SIDRA	ทฤษฎีแฉคอย	
1	75	1188	0.06	2.30	3.23	40.59
2	100	1188	0.08	2.50	3.31	32.32
3	125	1188	0.11	2.60	3.39	30.22
4	150	1188	0.13	2.70	3.47	28.41
5	175	1188	0.15	2.70	3.55	31.58
6	200	1188	0.17	2.70	3.64	34.91
7	225	1188	0.19	2.80	3.74	33.47
8	250	1188	0.21	2.80	3.84	37.02
9	275	1188	0.23	2.80	3.94	40.78
10	300	1188	0.25	2.80	4.05	44.74
11	325	1188	0.27	2.90	4.17	43.79

ลำดับ	ปริมาณการจราจร ในพื้นที่ชั่วโมง	ชีดจำากัดใน การให้บริการ (คัน/ชั่วโมง)	v/c	ความล่าช้า (วินาที/คัน)		ความ แตกต่าง (ร้อยละ)
				นิ่งแกรتم SIDRA	ทุกภูมิภาคอย	
12	350	1188	0.29	2.90	4.29	48.08
13	375	1188	0.32	2.90	4.43	52.63
14	400	1188	0.34	2.90	4.57	57.47
15	425	1188	0.36	2.90	4.72	62.63
16	450	1188	0.38	2.90	4.88	68.14
17	475	1188	0.40	3.00	5.05	68.23
18	500	1188	0.42	3.00	5.23	74.34
19	525	1188	0.44	3.00	5.43	80.91
20	550	1188	0.46	3.00	5.64	88.00
21	575	1188	0.48	3.00	5.87	95.66
22	600	1188	0.50	3.00	6.12	103.97
23	625	1188	0.53	3.00	6.39	113.03
24	650	1188	0.55	3.00	6.69	122.92
25	675	1188	0.57	3.00	7.01	133.78
26	700	1188	0.59	3.10	7.37	137.82
27	725	1188	0.61	3.10	7.77	150.65
28	750	1188	0.63	3.10	8.21	164.95
29	775	1188	0.65	3.10	8.71	180.97
30	800	1188	0.67	3.10	9.27	199.06
31	825	1188	0.69	3.10	9.91	219.64
32	850	1188	0.72	3.10	10.64	243.26
33	875	1188	0.74	3.10	11.49	270.65
34	900	1188	0.76	3.10	12.49	302.80
35	925	1188	0.78	3.10	13.67	341.04
36	950	1188	0.80	3.20	15.11	372.08
37	975	1188	0.82	3.20	16.88	427.41
38	1000	1188	0.84	3.20	19.12	497.43
39	1025	1188	0.86	3.20	22.04	588.88
40	1050	1188	0.88	3.20	26.03	713.40

ลำดับ	ปริมาณการจราจร ในทิศตะวันตก (คัน/ชั่วโมง)	ขีดจำกัดใน การให้บริการ (คัน/ชั่วโมง)	v/c	ความล่าช้า (วินาที/คัน)		ความ แตกต่าง (ร้อยละ)
				โปรแกรม SIDRA	ทฤษฎีแฉคอย	
41	1075	1188	0.90	3.20	31.77	892.87
42	1100	1188	0.93	3.20	40.77	1173.95
43	1125	1188	0.95	3.20	56.86	1677.03
44	1150	1188	0.97	3.30	93.98	2747.73
45	1175	1188	0.99	3.30	270.51	8097.38

ที่มา: ผู้วจัย

โดยเมื่อนำค่าความล่าช้าของวงเวียนโดยใช้ทฤษฎีแฉคอยและค่าความล่าช้าของวงเวียนโดยโปรแกรม SIDRA จากตารางที่ 4.4 มาสร้างกราฟระหว่างความล่าช้าของวงเวียนกับ v/c จะได้ดังภาพที่ 4.2



ที่มา: ผู้จัด

ภาพที่ 4.2 กราฟแสดงความสัมพันธ์ระหว่างการประมาณค่าความล่าช้าของวงเวียนโดยใช้ทฤษฎีแกวคอยและโปรแกรม SIDRA กับ v/c

ผลของการเปรียบเทียบค่าความล่าช้าของวงเวียนโดยใช้ทฤษฎีแกวคอยกับค่าความล่าช้าของวงเวียนโดยโปรแกรม SIDRA พบว่าความล่าช้าที่ประมาณได้จากทฤษฎีแกวคอยมีความแตกต่างกับความล่าช้าที่ประมาณได้จากโปรแกรม SIDRA โดยจะมีค่ามากกว่าความล่าช้าที่ประมาณได้จากทฤษฎีแกวคอยโดยตลอด ตั้งแต่ช่วง v/c เท่ากับ 0.00 ตลอดจนกระทั่ง v/c เท่ากับ 1.00

4.3 เปรียบเทียบความล่าช้าของวงเวียนโดยทฤษฎีและอยู่กับความล่าช้าในภาคสนาม

จากการเก็บข้อมูลที่วงเวียนหนองนาพิกาหนนองจาก เขตหนองจอก สามารถบันทึกประเภท ของยานพาหนะที่เข้ามาใช้บริการวงเวียนดังแสดงในตารางที่ 4.5

ตารางที่ 4.5

ข้อมูลประเภทของยานพาหนะที่เข้ามาใช้บริการวงเวียนหนองนาพิกาหนนองจาก

เวลา	ปริมาณจราจรบนทางแยก (คัน)									
	Total (PCU)	Total	MC	PC+LT	LB	MB	HB	MT	HT	TR
7.00-7.15	127	297	229	66	1	0	0	1	0	0
7:15-7:30	279	558	398	133	19	0	0	5	3	0
7:30-7:45	400	711	467	201	14	1	3	17	5	3
7.45-8.00	389	620	364	211	14	3	7	11	6	4
8.00-8.15	385	590	319	222	36	0	1	6	0	6
8.15-8.30	384	571	296	237	15	1	6	6	7	3
8.30-8.45	353	556	304	221	15	4	1	4	4	3
8.45-9.00	338	498	241	230	17	1	0	4	4	1
16:00-16:15	384	607	326	250	21	2	3	2	1	2
16:15-16:30	470	720	381	305	7	0	0	16	5	6
16:30-16:45	603	1,179	811	325	25	1	3	10	2	2
16:45-17:00	492	1,029	750	249	18	0	0	4	4	4
17:00-17:15	370	721	484	223	6	1	0	5	2	0
17:15-17:30	579	1208	853	336	14	3	0	2	0	0
17:30-17:45	495	1065	769	284	7	4	1	0	0	0
17:45-18:00	377	808	583	215	7	1	1	1	0	0
Total	6,421	11,738	5,370	2,873	208	14	24	91	43	34

ที่มา ผู้วิจัย

จากข้อมูลในตารางที่ 4.5 นำไปปรับเทียบเท่ารายนั้นส่วนบุคคลในการเข้ามาใช้บริการ
ของวงเดือนและแบ่งตามทิศทางการจราจร ได้แสดงในตารางที่ 4.6

ตารางที่ 4.6

ปริมาณของyanพาหนะหลังการปรับเทียบเท่ารายนั้นส่วนบุคคลในการเข้ามาใช้
บริการของวงเดือนแบ่งตามทิศทางการจราจร

เวลา	ปริมาณจราจรแยกตามทิศทาง (PCU) (คัน/15 นาที)											
	ทิศตะวันตก			ทิศตะวันออก			ทิศใต้			ทิศเหนือ		
	ขวา	ตรง	ซ้าย	ขวา	ตรง	ซ้าย	ขวา	ตรง	ซ้าย	ขวา	ตรง	ซ้าย
7.00-7.15	13	16	17	4	18	6	7	4	8	17	7	10
7:15-7:30	31	38	29	11	48	17	21	12	17	28	11	18
7:30-7.45	65	66	32	17	57	27	29	9	44	27	11	17
7.45-8.00	54	60	33	16	46	30	35	11	51	23	12	20
8.00-8.15	51	79	15	13	49	21	27	11	62	26	14	18
8.15-8.30	36	93	23	22	43	43	13	10	56	19	11	16
8.30-8.45	39	70	19	12	36	25	53	13	42	16	13	17
8.45-9.00	32	81	19	11	49	16	28	11	46	25	7	14
16:00-16:15	52	86	19	9	50	36	45	11	33	12	9	20
16:15-16:30	58	118	26	9	47	32	58	20	48	15	20	22
16:30-16:45	50	141	29	25	105	55	59	13	56	25	8	39
16:45-17:00	36	106	35	26	61	37	48	22	56	19	9	38
17:00-17:15	16	50	23	48	74	31	23	15	28	25	7	31
17:15-17:30	53	116	32	17	101	30	62	15	58	35	23	37
17:30-17:45	42	112	28	21	60	40	60	28	49	16	17	22
17:45-18:00	36	93	21	15	50	29	35	20	41	7	13	17

ที่มา ผู้วิจัย

ผลของประยุกต์ใช้ทฤษฎีแวกอยในการประมาณค่าความล่าช้าของวงเวียนซึ่งสามารถคำนวณได้จากสมการ (3) และศึกษาเปรียบเทียบค่าความล่าช้าของวงเวียนโดยใช้ทฤษฎีแวกอยเปรียบเทียบกับค่าความล่าช้าของวงเวียนโดยทฤษฎี HCM ซึ่งสามารถคำนวณได้จากสมการ (2), ค่าความล่าช้าของวงเวียนโดยโปรแกรม SIDRA โดยใช้ข้อมูลปริมาณการจราจรในตารางที่ 4.6 และค่าความล่าช้าที่เกิดขึ้นของวงเวียนที่ได้จากการเก็บข้อมูลภาคสนาม สามารถแสดงได้ตามตารางที่ 4.7

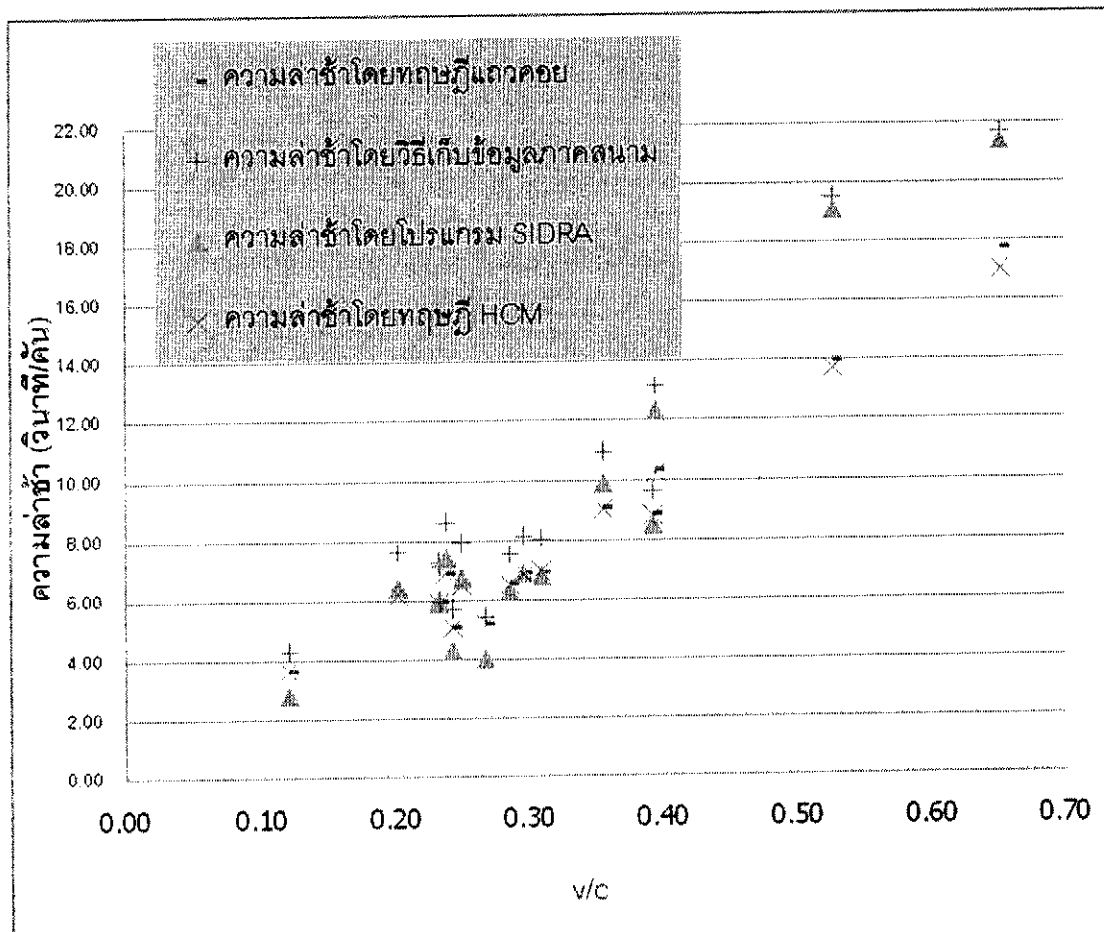
ตารางที่ 4.7

เปรียบเทียบความล่าช้าของวงเวียนโดยทฤษฎีแวกอยกับความล่าช้าในภาคสนาม

เวลา	ปริมาณการจราจร ในพื้นที่เนื้อ (คัน/ชั่วโมง)	ขีดจำกัดในการ ให้บริการ (คัน/ชั่วโมง)	v/c	ความล่าช้า (วินาที/คัน)			
				ข้อมูล ภาคสนาม	ทฤษฎี แวกอย	โปรแกรม SIDRA	ทฤษฎี HCM
7.00- 7.15	136	1123	0.12	4.27	3.65	2.80	3.65
7:15- 7:30	228	940	0.24	5.68	5.06	4.30	5.05
7:30- 7.45	220	743	0.30	8.11	6.88	6.90	6.87
7.45- 8.00	220	771	0.29	7.55	6.53	6.30	6.52
8.00- 8.15	232	751	0.31	8.01	6.94	6.80	6.93
8.15- 8.30	184	790	0.23	7.17	5.95	5.90	5.94
8.30- 8.45	184	738	0.25	7.92	6.50	6.70	6.49
8.45- 9.00	184	792	0.23	7.27	5.92	6.00	5.91
16:00- 16:15	164	687	0.24	8.58	6.88	7.40	6.87

เวลา	ปริมาณการจราจร ในพื้นที่เนื้อ (คัน/ชั่วโมง)	ขีดจำกัดในการ ให้บริการ (คัน/ชั่วโมง)	v/c	ความล่าช้า (วินาที/คัน)			
				ข้อมูล ภาคสนาม	ทฤษฎี แฉลดอย	โปรแกรม SIDRA	ทฤษฎี HCM
16:15- 16:30	228	577	0.40	13.16	10.31	12.30	10.25
16:30- 16:45	288	546	0.53	19.52	13.95	19.10	13.71
16:45- 17:00	264	671	0.39	9.60	8.84	8.50	8.80
17:00- 17:15	252	943	0.27	5.40	5.21	4.00	5.21
17:15- 17:30	380	583	0.65	21.67	17.72	21.40	16.98
17:30- 17:45	220	618	0.36	10.91	9.04	9.90	9.01
17:45- 18:00	148	733	0.20	7.64	6.15	6.40	6.15

โดยเมื่อนำข้อมูลการประมาณค่าความล่าช้าของวงเวียนโดยใช้ทฤษฎีแฉลดอย
เปรียบเทียบกับค่าความล่าช้าของวงเวียนที่ได้จากการเก็บข้อมูลภาคสนาม, เปรียบเทียบกับค่า
ความล่าช้าของวงเวียนโดยโปรแกรม SIDRA และเปรียบเทียบกับค่าความล่าช้าของวงเวียนโดย
ทฤษฎี HCM จากตารางที่ 4.7 มาสร้างกราฟระหว่างความล่าช้าของวงเวียนกับ v/c จะได้ดังภาพ
ที่ 4.3



ที่มา: ผู้วิจัย

ภาพที่ 4.3 กราฟแสดงความสัมพันธ์ระหว่างความล่าช้าของวงเวียนโดยทฤษฎีแฉกอย,
ทฤษฎี HCM และโปรแกรม SIDRA และความล่าช้าในภาคสนามกับ V/C

ผลของการเปรียบเทียบค่าความล่าช้าของวงเวียนโดยใช้ทฤษฎีแฉกอยเปรียบเทียบกับค่าความล่าช้าของวงเวียนที่ได้จากการเก็บข้อมูลภาคสนาม, เปรียบเทียบกับค่าความล่าช้าของวงเวียนโดยโปรแกรม SIDRA และเปรียบเทียบกับค่าความล่าช้าของวงเวียนโดยทฤษฎี HCM พบว่า ความล่าช้าของวงเวียนโดยทฤษฎีแฉกอยมีค่าใกล้เคียงกับความล่าช้าในภาคสนาม โดยความล่าช้าของวงเวียนโดยทฤษฎีแฉกอยจะมีค่าต่ำกว่าความล่าช้าภาคสนามเล็กน้อย แต่จะสูงกว่าค่าความล่าช้าของวงเวียนโดยทฤษฎี HCM และความล่าช้าของวงเวียนโดยโปรแกรม SIDRA ตามลำดับ ในช่วงที่ V/C ต่ำ ($\text{น้อยกว่า } 0.30$) ขณะที่ในช่วง V/C สูง ($\text{มากกว่า } 0.30$) ความล่าช้าของวงเวียนโดยโปรแกรม SIDRA จะมีค่าใกล้เคียงกับความล่าช้าในภาคสนาม โดยความล่าช้าของวงเวียนโดยโปรแกรม SIDRA จะมีค่าต่ำกว่าความล่าช้าภาคสนามเล็กน้อย แต่จะสูงกว่าค่าความล่าช้าของวงเวียนโดยทฤษฎีแฉกอยและความล่าช้าของวงเวียนโดยทฤษฎี HCM ตามลำดับ

บทที่ 5

สรุปผลการวิจัยและข้อเสนอแนะ

ในบทนี้สรุปผลของการประยุกต์ใช้ทฤษฎีแอกคอยเพื่อใช้ในการประมาณค่าความล่าช้าของวงเวียนและศึกษาเปรียบเทียบค่าความล่าช้าของวงเวียนโดยใช้ทฤษฎีแอกคอยกับค่าความล่าช้าของวงเวียนโดยทฤษฎี HCM, ค่าความล่าช้าของวงเวียนที่ได้จากการโปรแกรม SIDRA และค่าความล่าช้าที่เกิดขึ้นของวงเวียนที่ได้จากการเก็บข้อมูลภาคสนาม ซึ่งผลการศึกษามีรายละเอียดดังต่อไปนี้

5.1 สรุปผลการวิจัย

งานวิจัยเพื่อศึกษาเปรียบเทียบค่าความล่าช้าของวงเวียนโดยใช้ทฤษฎีแอกคอย สามารถสรุปผลได้ออกเป็น 3 ส่วน ดังต่อไปนี้

5.1.1 เปรียบเทียบค่าความล่าช้าของวงเวียนโดยใช้ทฤษฎีแอกคอยกับค่าความล่าช้าของวงเวียนโดยทฤษฎี HCM

จากการวิจัยสามารถอธิบายได้ว่า ความล่าช้าที่ประมาณได้จากทฤษฎีแอกคอยมีค่าใกล้เคียงกับความล่าช้าที่ประมาณได้จากทฤษฎี HCM ในช่วง v/c ตั้งแต่ 0.00 จนถึง 0.50 (ร้อยละความแตกต่างน้อยกว่า 1) หลังจากนั้นความล่าช้าที่ประมาณได้จากทฤษฎีแอกคอยจะเริ่มมีค่ามากกว่าความล่าช้าที่ประมาณได้จากทฤษฎี HCM โดยผลต่างของความล่าที่ประมาณได้จากห้องสูญญากาศเพิ่มขึ้นอย่างช้าๆ เมื่อ v/c เพิ่มขึ้น (ร้อยละความแตกต่างอยู่ระหว่าง 1 ถึง 5) จนกระทั่งเมื่อ v/c มากกว่า 0.75 ผลต่างของความล่าที่ประมาณได้จากห้องสูญญากาศเพิ่มขึ้นอย่างรวดเร็ว (ร้อยละความแตกต่างอยู่ระหว่าง 5 ถึง 100) แต่ผลต่างของความล่าที่ประมาณได้จากห้องสูญญากาศจะมากที่สุด เมื่อ v/c มากกว่า 0.95 (ร้อยละความแตกต่างมากกว่า 100) และจากการวิเคราะห์ทางสถิติโดยเลือกใช้ตัวทดสอบวิธี t-distribution ในช่วง v/c ตั้งแต่ 0.00 จนถึง 0.75 พบว่าความล่าช้าที่ประมาณได้จากห้องสูญญากาศไม่มีความแตกต่างกันที่ระดับความเชื่อมั่นร้อยละ 99

5.1.2 เปรียบเทียบค่าความล่าช้าของวงเวียนโดยใช้ทฤษฎีแอกคอยกับค่าความล่าช้าของวงเวียนที่ได้จากการโปรแกรม SIDRA

จากผลการวิจัยสามารถอธิบายได้ว่า ความล่าช้าที่ประมาณได้จากทฤษฎีแอกคอยมีค่าแตกต่างกับความล่าช้าที่ประมาณได้จากโปรแกรม SIDRA โดยความล่าช้าที่ประมาณได้จากทฤษฎีแอกคอยจะเพิ่มขึ้น เมื่อความหนาแน่นของการจราจรเพิ่มขึ้น ในทางกลับกันความล่าช้าที่ประมาณได้จากโปรแกรม SIDRA ค่อนข้างคงที่และจะเพิ่มขึ้นเล็กน้อยเมื่อเทียบกับเพิ่มขึ้นของ v/c เป็นเพราะว่าโดยหลักการคำนวณของโปรแกรม SIDRA จะทำการปรับแก้ระยะซองว่างที่ผู้ขับขี่ยอมรับในการขับรถเข้าสู่วงเวียน (gap-acceptance) โดยพิจารณาจากปริมาณการจราจรที่เข้าสู่วงเวียนและปริมาณการจราจรในวง ซึ่งจะมีผลทำให้ซองว่างวิกฤตและเกลาติดตามของการจราจรนั้นเปลี่ยนไป สงผลให้มีดีจำกัดในการให้บริการของวงเวียนเปลี่ยนไปตามปริมาณการจราจรส่วนตัวของนักเดินทาง ยังรวมผลกระทบที่เกิดจากลักษณะภูมิประเทศของวงเวียน เช่น ความกว้างของซ่องจราจร ขนาดเส้นผ่าศูนย์กลางของวงเวียน ความลาดชันของวงเวียน รวมถึงความเร็วของรถขณะที่เข้าสู่วงเวียน

5.1.3 เปรียบเทียบค่าความล่าช้าของวงเวียนโดยใช้ทฤษฎีแอกคอยกับค่าความล่าช้าของวงเวียนที่ได้จากการเก็บข้อมูลภาคสนาม

จากผลการทดลองสามารถอธิบายได้ว่า ความล่าช้าที่ประมาณได้จากทฤษฎีแอกคอยมีค่าใกล้เคียงกับความล่าช้าที่ได้จากการเก็บข้อมูลภาคสนามในช่วง v/c ต่ำ (น้อยกว่า 0.30) ขณะที่ในช่วง v/c สูง (มากกว่า 0.30) ความล่าช้าที่ประมาณได้จากทฤษฎีแอกคอยมีค่าแตกต่างกับความล่าช้าที่ได้จากการเก็บข้อมูลภาคสนามและความล่าช้าที่ประมาณได้จากทฤษฎีแอกคอยจะมีค่าน้อยกว่าความล่าช้าที่ได้จากการเก็บข้อมูลภาคสนามเสมอ ทั้งนี้อาจเกิดความคลาดเคลื่อนขึ้นอันเนื่องมาจากการซับซ้อนภายในวงเวียน เช่น การฝ่าฝืนหลักการให้ทาง ซึ่งมีผลทำให้รถในวงเวียนจะต้องหยุดรอ สงผลให้เกิดความล่าช้าเพิ่มขึ้น



ที่มา: ผู้วิจัย

ภาพที่ 5.1 การฝึกหัดการให้ทางรถในวงเวียน

นอกจากนั้นอาจเกิดจากจักษุที่ใช้ในการเก็บข้อมูลความล่าช้า ซึ่งในงานวิจัยนี้ทำการเก็บข้อมูลความล่าช้าของวงเวียนในพิศเหนือโดยแบ่งช่วงเวลาในการวิจัยเป็นช่วงๆ ช่วงละ 15 นาที โดยใช้วิธีการจับเวลาที่ยานพาหนะทุกคันที่เข้าสู่วงเวียนในพิศเหนือ ใช้ในการเคลื่อนที่ผ่านวงเวียน หลังจากนั้นจึงนำเวลาและจำนวนยานพาหนะที่บันทึกไว้มาคำนวณหาค่าความล่าช้าเฉลี่ย เมื่อจากมีข้อจำกัดทางด้านงบประมาณและบุคลากร ซึ่งเป็นวิธีที่แตกต่างจากทฤษฎี HCM

โดยทฤษฎี HCM ระบุวิธีการเก็บข้อมูลความล่าช้าไว้ดังนี้ การเก็บข้อมูลความล่าช้า จะต้องใช้ผู้สำรวจจำนวน 2 คน โดยที่คนแรกจะทำการบันทึกจำนวนยานพาหนะทุกคันที่เข้าสู่วงเวียนในพิศทางที่ต้องการเก็บข้อมูลและจำนวนยานพาหนะที่หยุด ในช่วงเวลาที่ทำการเก็บข้อมูล คนที่สองจะต้องทำการบันทึกจำนวนยานพาหนะที่อยู่ในແควาดอยที่เกิดขึ้น โดยจะบันทึกจำนวนยานพาหนะที่อยู่ในແควาดอยเป็นช่วงเวลาอย่างๆ โดยปกติในการวิจัยจะกำหนดช่วงเวลาอยู่นี้เป็น 15 วินาที เช่น 8 คัน/15 วินาที เป็นต้น

หลังจากนั้นทำการคำนวณหาความล่าช้าเฉลี่ยที่เกิดขึ้นในແກວຄອຍໄດ້ຈາກສມກາր
ດັ່ງຕົ້ນໄປນີ້

$$d_{vq} = (I_s * \frac{\sum v_{iq}}{v_{tot}}) * 0.9 \quad (4)$$

โดยที่

d_{vq}	=	ความล่าช้าเฉลี่ยที่เกิดขึ้นในແກວຄອຍ (ດິນາທີ)
I_s	=	ໜ່ວງເລາຮະໜ່ວງການນັບຮັກໃນແກວຄອຍ (ດິນາທີ)
v_{iq}	=	ຈຳນວນຍານພາຫະນະທີ່ອູ້ໃນແກວຄອຍ (គັນ)
v_{tot}	=	ຈຳນວນຍານພາຫະນະທີ່ເຂົ້າສູ່ວົງເວີຍນ (គັນ)

ແລະคำนวณความล่าช้าທີ່ເກີດຈາກການເຮັ່ງ/ລດຄວາມເຮົວຂອງຍານພາຫະນະໄດ້ຈາກສມກາรດັ່ງຕົ້ນໄປ

$$d_{ad} = \frac{v_{stop}}{v_{tot}} * CF \quad (5)$$

โดยที่

d_{ad}	=	ความล่าช้าທີ່ເກີດຈາກການເຮັ່ງ/ລດຄວາມເຮົວ (ດິນາທີ)
v_{stop}	=	ຈຳນວນຍານພາຫະນະທີ່ຫຍຸດ(គັນ)
v_{tot}	=	ຈຳນວນຍານພາຫະນະທີ່ເຂົ້າສູ່ວົງເວີຍນ (គັນ)
CF	=	ຄໍາປັບແກ້ນື່ອຈາກການເຮັ່ງ/ລດຄວາມເຮົວຂອງຍານພາຫະນະ (ດິນາທີ)

ສິ່ງຄວາມລ່າຍ້າທີ່ຮັບໃຈໃນທຸກໆໜີ HCM ດື່ອຜລກາມຂອງຄວາມລ່າຍ້າເຊີ່ຍທີ່ເກີດขື້ນໃນແກວຄອຍ
ກັບຄວາມລ່າຍ້າທີ່ເກີດຈາກການເຮັ່ງ/ລດຄວາມເຮົວ

5.2 ข้อเสนอแนะและงานวิจัยในอนาคต

ข้อเสนอแนะที่จะทำให้งานวิจัยนี้สามารถนำไปใช้ประโยชน์และปรับปรุงต่อยอดไปได้อีกดังต่อไปนี้

1. จำลองปริมาณการเข้ามาใช้บริการของวงเวียนให้มีความละเอียดมากขึ้น และจำลองรูปแบบการเข้ามาใช้บริการวงเวียนให้มีความหลากหลายมากขึ้น เช่น การเข้ามาใช้บริการวงเวียนแบบสมมาตร หรือไม่สมมาตร เป็นต้น และศึกษาการประมาณค่าความล่าช้าของวงเวียนโดยทฤษฎีอื่นเพิ่มเติม
2. ศึกษาการประมาณค่าความล่าช้าของวงเวียนโดยโปรแกรมคอมพิวเตอร์อื่นเพิ่มเติม เช่น Paramics หรือ Synchro เป็นต้น เพื่อสนับสนุนความน่าเชื่อถือของทฤษฎีและความรวมทั้งประยุกต์ใช้กับระบบอื่นๆ ของทฤษฎีแยกอย่างเดียว $M/G/1$ เป็นต้น
3. เก็บข้อมูลปริมาณและความล่าช้าของการจราจรให้มีความละเอียดเพิ่มขึ้น โดยอ้างอิงหลักการเก็บข้อมูลจาก HCM ซึ่งเป็นการรวบรวมข้อมูลที่ต้องมีความละเอียดและต้องมีงบประมาณในการเก็บข้อมูล

บรรณานุกรม

- [1] กมล บุนศิริ. การประยุกต์ใช้โปรแกรม SIDRA ในการวิเคราะห์สัญญาณไฟจราจรในเมืองหาดใหญ่และในเมืองอุบลราชธานี. วิทยานิพนธ์ปริญญามหาบัณฑิต ภาควิชาวิศวกรรมโยธา(การขนส่ง)มหาวิทยาลัยสงขลานครินทร์ 2542.
- [2] Rahmi Akcelik. A Roundabout Case study Comparing Capacity Estimates from Alternative Analytical Model. 2nd Urban Street Symposium (Anaheim, California) -July 28-30 2003.
- [3] Timothy Oketch. EVALUATION OF PERFORMANCE OF MODERN ROUNDABOUTS USING PARAMICS MICRO-SIMULATION MODEL.TAC 2004
- [4] Rahmi Akcelik. Capacity and Performance Analysis of Roundabout Metering Signals. TRB National Roundabout Conference, Vail, Colorado, USA, 22-25 May 2005
- [5] Mark C. Smith. Assessing the Accuracy of Roundabouts Analysis Procedures against Field Observations: Preliminary Results from a Case Study in Northern New England. TRB Paper #07-2868 2006.
- [6] Maria de Lurdes Simoes. Queues with sever vacation in urban traffic control. Actas do IX Congresso Annual da SPE 2007, pp.1181-1186.

ภาคผนวก

ความล่าช้าของวงเวียนโดยโปรแกรม SIDRA

1. เมื่อทำการจำลองการเข้ามาใช้บริการของวงเวียนในทิศตะวันตก

Title
Subtitle
Intersection ID: 1
Roundabout

Table S.6 - INTERSECTION PERFORMANCE

Total Flow (veh/h)	Total Delay (veh-h/h)	Aver. Delay (sec)	Prop. Queued	Eff. Stop Rate	Perf. Index	Aver. Speed (km/h)
<hr/>						
South: South Approach						
75	0.05	2.3	0.196	0.29	3.42	24.5
<hr/>						
East: East Approach						
75	0.05	2.3	0.196	0.29	3.42	24.5
<hr/>						
North: North Approach						
75	0.05	2.3	0.196	0.29	3.42	24.5
<hr/>						
West: West Approach						
75	0.05	2.3	0.196	0.29	3.42	24.5
<hr/>						
INTERSECTION:						
300	0.19	2.3	0.196	0.29	13.68	24.5

Title
Subtitle
Intersection ID: 1
Roundabout

Table S.6 - INTERSECTION PERFORMANCE

Total Flow (veh/h)	Total Delay (veh-h/h)	Aver. Delay (sec)	Prop. Queued	Eff. Stop Rate	Perf. Index	Aver. Speed (km/h)
<hr/>						
South: South Approach						
75	0.05	2.3	0.196	0.29	3.42	24.5
<hr/>						
East: East Approach						
75	0.05	2.4	0.235	0.31	3.44	24.5
<hr/>						
North: North Approach						
75	0.05	2.4	0.235	0.31	3.44	24.5
<hr/>						
West: West Approach						
100	0.07	2.5	0.193	0.31	4.59	24.5
<hr/>						
INTERSECTION:						
325	0.22	2.4	0.213	0.31	14.88	24.5

Title
 Subtitle
 Intersection ID: 1
 Roundabout

Table S.6 - INTERSECTION PERFORMANCE

Total Flow (veh/h)	Total Delay (veh-h/h)	Aver. Delay (sec)	Prop. Queued	Eff. Stop Rate	Perf. Index	Aver. Speed (km/h)
South: South Approach						
75	0.05	2.3	0.196	0.29	3.42	24.5
East: East Approach						
75	0.05	2.6	0.268	0.33	3.45	24.5
North: North Approach						
75	0.05	2.6	0.268	0.33	3.45	24.5
West: West Approach						
125	0.09	2.6	0.190	0.33	5.76	24.5
INTERSECTION:						
350	0.25	2.5	0.225	0.32	16.08	24.5

Title
Subtitle
Intersection ID: 1
Roundabout

Table S.6 - INTERSECTION PERFORMANCE

Total Flow (veh/h)	Total Delay (veh-h/h)	Aver. Delay (sec)	Prop. Queued	Eff. Stop Rate	Perf. Index	Aver. Speed (km/h)
South: South Approach						
75	0.01	0.3	0.196	0.29	3.43	24.5
East: East Approach						
75	0.02	0.7	0.298	0.34	3.47	24.4
North: North Approach						
75	0.02	0.7	0.298	0.34	3.47	24.4
West: West Approach						
150	0.01	0.3	0.187	0.33	6.94	24.5
INTERSECTION:						
375	0.05	0.5	0.233	0.33	17.31	24.5

Title
 Subtitle
 Intersection ID: 1
 Roundabout

Table S.6 - INTERSECTION PERFORMANCE

Total Flow (veh/h)	Total Delay (veh-h/h)	Aver. Delay (sec)	Prop. Queued	Eff. Stop Rate	Perf. Index	Aver. Speed (km/h)
South: South Approach						
75	0.05	2.3	0.196	0.29	3.42	24.5
East: East Approach						
75	0.06	2.8	0.325	0.36	3.48	24.4
North: North Approach						
75	0.06	2.8	0.325	0.36	3.48	24.4
West: West Approach						
175	0.13	2.7	0.183	0.34	8.08	24.5
INTERSECTION:						
400	0.30	2.7	0.238	0.34	18.46	24.5

Title
Subtitle
Intersection ID: 1
Roundabout

Table S.6 - INTERSECTION PERFORMANCE

Total Flow (veh/h)	Total Delay (veh-h/h)	Aver. Delay (sec)	Prop. Queued	Eff. Stop Rate	Perf. Index	Aver. Speed (km/h)
South: South Approach						
75	0.05	2.3	0.196	0.29	3.42	24.5
East: East Approach						
75	0.06	3.0	0.349	0.37	3.49	24.4
North: North Approach						
75	0.06	3.0	0.349	0.37	3.49	24.4
West: West Approach						
200	0.15	2.7	0.178	0.34	9.24	24.5
INTERSECTION:						
425	0.32	2.8	0.242	0.34	19.64	24.4

Title
 Subtitle
 Intersection ID: 1
 Roundabout

Table S.6 - INTERSECTION PERFORMANCE

Total Flow (veh/h)	Total Delay (veh-h/h)	Aver. Delay (sec)	Prop. Queued	Eff. Stop Rate	Perf. Index	Aver. Speed (km/h)
South: South Approach						
75	0.05	2.3	0.196	0.29	3.42	24.5
East: East Approach						
75	0.07	3.1	0.372	0.39	3.51	24.4
North: North Approach						
75	0.07	3.1	0.372	0.39	3.51	24.4
West: West Approach						
225	0.17	2.8	0.174	0.34	10.39	24.5
INTERSECTION:						
450	0.35	2.8	0.243	0.35	20.82	24.4

Title
Subtitle
Intersection ID: 1
Roundabout

Table S.6 - INTERSECTION PERFORMANCE

Total Flow (veh/h)	Total Delay (veh-h/h)	Aver. Delay (sec)	Prop. Queued	Eff. Stop Rate	Perf. Index	Aver. Speed (km/h)
South: South Approach						
75	0.05	2.3	0.196	0.29	3.42	24.5
East: East Approach						
75	0.07	3.3	0.393	0.40	3.52	24.4
North: North Approach						
75	0.07	3.3	0.393	0.40	3.52	24.4
West: West Approach						
250	0.19	2.8	0.175	0.35	11.56	24.4
INTERSECTION:						
475	0.38	2.9	0.247	0.36	22.02	24.4

Title
Subtitle
Intersection ID: 1
Roundabout

Table S.6 - INTERSECTION PERFORMANCE

Total Flow (veh/h)	Total Delay (veh-h/h)	Aver. Delay (sec)	Prop. Queued	Eff. Stop Rate	Perf. Index	Aver. Speed (km/h)
South: South Approach						
75	0.05	2.3	0.196	0.29	3.42	24.5
East: East Approach						
75	0.07	3.4	0.413	0.42	3.53	24.3
North: North Approach						
75	0.07	3.4	0.413	0.42	3.53	24.3
West: West Approach						
275	0.22	2.8	0.177	0.35	12.73	24.4
INTERSECTION:						
500	0.41	2.9	0.250	0.36	23.22	24.4

Title
Subtitle
Intersection ID: 1
Roundabout

Table S.6 - INTERSECTION PERFORMANCE

Total Flow (veh/h)	Total Delay (veh-h/h)	Aver. Delay (sec)	Prop. Queued	Eff. Stop Rate	Perf. Index	Aver. Speed (km/h)
South: South Approach						
75	0.05	2.3	0.196	0.29	3.42	24.5
East: East Approach						
75	0.07	3.6	0.431	0.43	3.55	24.3
North: North Approach						
75	0.07	3.6	0.431	0.43	3.55	24.3
West: West Approach						
300	0.24	2.8	0.178	0.35	13.90	24.4
INTERSECTION:						
525	0.43	3.0	0.253	0.37	24.41	24.4

Title
Subtitle
Intersection ID: 1
Roundabout

Table S.6 - INTERSECTION PERFORMANCE

Total Flow (veh/h)	Total Delay (veh-h/h)	Aver. Delay (sec)	Prop. Queued	Eff. Stop Rate	Perf. Index	Aver. Speed (km/h)
<hr/>						
South: South Approach						
75	0.05	2.3	0.196	0.29	3.42	24.5
<hr/>						
East: East Approach						
75	0.08	3.8	0.449	0.44	3.56	24.3
<hr/>						
North: North Approach						
75	0.08	3.8	0.449	0.44	3.56	24.3
<hr/>						
West: West Approach						
325	0.26	2.9	0.180	0.35	15.07	24.4
<hr/>						
INTERSECTION:						
550	0.46	3.0	0.255	0.37	25.61	24.4

Title
 Subtitle
 Intersection ID: 1
 Roundabout

Table S.6 - INTERSECTION PERFORMANCE

Total Flow (veh/h)	Total Delay (veh-h/h)	Aver. Delay (sec)	Prop. Queued	Eff. Stop Rate	Perf. Index	Aver. Speed (km/h)
South: South Approach						
75	0.05	2.3	0.196	0.29	3.42	24.5
East: East Approach						
75	0.08	3.9	0.466	0.46	3.57	24.3
North: North Approach						
75	0.08	3.9	0.466	0.46	3.57	24.3
West: West Approach						
350	0.28	2.9	0.182	0.35	16.25	24.4
INTERSECTION:						
575	0.49	3.1	0.258	0.37	26.81	24.4

Title
Subtitle
Intersection ID: 1
Roundabout

Table S.6 - INTERSECTION PERFORMANCE

Total Flow (veh/h)	Total Delay (veh-h/h)	Aver. Delay (sec)	Prop. Queued	Eff. Stop Rate	Perf. Index	Aver. Speed (km/h)
South: South Approach						
75	0.05	2.3	0.196	0.29	3.42	24.5
East: East Approach						
75	0.08	4.1	0.482	0.47	3.59	24.3
North: North Approach						
75	0.08	4.1	0.482	0.47	3.59	24.3
West: West Approach						
375	0.30	2.9	0.183	0.36	17.42	24.4
INTERSECTION:						
600	0.52	3.1	0.260	0.38	28.01	24.4

Title
Subtitle
Intersection ID: 1
Roundabout

Table S.6 - INTERSECTION PERFORMANCE

Total Flow (veh/h)	Total Delay (veh-h/h)	Aver. Delay (sec)	Prop. Queued	Eff. Stop Rate	Perf. Index	Aver. Speed (km/h)
South: South Approach						
75	0.05	2.3	0.196	0.29	3.42	24.5
East: East Approach						
75	0.09	4.2	0.498	0.48	3.60	24.3
North: North Approach						
75	0.09	4.2	0.498	0.48	3.60	24.3
West: West Approach						
400	0.32	2.9	0.185	0.36	18.60	24.4
INTERSECTION:						
625	0.55	3.2	0.261	0.38	29.21	24.4

Title
Subtitle
Intersection ID: 1
Roundabout

Table S.6 - INTERSECTION PERFORMANCE

Total Flow (veh/h)	Total Delay (veh-h/h)	Aver. (sec)	Prop. Queued	Eff. Stop Rate	Perf. Index	Aver. (km/h)
South: South Approach						
75	0.05	2.3	0.196	0.29	3.42	24.5
East: East Approach						
75	0.09	4.4	0.513	0.50	3.61	24.3
North: North Approach						
75	0.09	4.4	0.513	0.50	3.61	24.3
West: West Approach						
425	0.35	2.9	0.187	0.36	19.77	24.4
INTERSECTION:						
650	0.58	3.2	0.263	0.38	30.42	24.4

Title
Subtitle
Intersection ID: 1
Roundabout

Table S.6 - INTERSECTION PERFORMANCE

Total Flow (veh/h)	Total Delay (veh-h/h)	Aver. (sec)	Prop. Queued	Eff. Stop Rate	Perf. Index	Aver. Speed (km/h)
<hr/>						
South: South Approach						
75	0.05	2.3	0.196	0.29	3.42	24.5
<hr/>						
East: East Approach						
75	0.10	4.6	0.527	0.51	3.63	24.3
<hr/>						
North: North Approach						
75	0.10	4.6	0.527	0.51	3.63	24.3
<hr/>						
West: West Approach						
450	0.37	2.9	0.189	0.36	20.95	24.4
<hr/>						
INTERSECTION:						
675	0.61	3.2	0.265	0.39	31.62	24.4

Title
 Subtitle
 Intersection ID: 1
 Roundabout

Table S.6 - INTERSECTION PERFORMANCE

Total Flow (veh/h)	Total Delay (veh-h/h)	Aver. Delay (sec)	Prop. Queued	Eff. Stop Rate	Perf. Index	Aver. Speed (km/h)
South: South Approach						
75	0.05	2.3	0.196	0.29	3.42	24.5
East: East Approach						
75	0.10	4.8	0.541	0.52	3.64	24.2
North: North Approach						
75	0.10	4.8	0.541	0.52	3.64	24.2
West: West Approach						
475	0.39	3.0	0.191	0.36	22.13	24.4
INTERSECTION:						
700	0.64	3.3	0.267	0.39	32.83	24.4

Title
 Subtitle
 Intersection ID: 1
 Roundabout

Table S.6 - INTERSECTION PERFORMANCE

Total Flow (veh/h)	Total Delay (veh-h/h)	Aver. Delay (sec)	Prop. Queued	Eff. Stop Rate	Perf. Index	Aver. Speed (km/h)
South: South Approach						
75	0.05	2.3	0.196	0.29	3.42	24.5
East: East Approach						
75	0.10	5.0	0.555	0.53	3.65	24.2
North: North Approach						
75	0.10	5.0	0.555	0.53	3.65	24.2
West: West Approach						
500	0.41	3.0	0.193	0.36	23.31	24.4
INTERSECTION:						
725	0.67	3.3	0.268	0.39	34.03	24.4

Title
 Subtitle
 Intersection ID: 1
 Roundabout

Table 5.6 - INTERSECTION PERFORMANCE

Total Flow (veh/h)	Total Delay (veh-h/h)	Aver. Delay (sec)	Prop. Queued	Eff. Stop Rate	Perf. Index	Aver. Speed (km/h)
South: South Approach						
75	0.05	2.3	0.196	0.29	3.42	24.5
East: East Approach						
75	0.11	5.2	0.568	0.54	3.67	24.2
North: North Approach						
75	0.11	5.2	0.568	0.54	3.67	24.2
West: West Approach						
525	0.44	3.0	0.195	0.36	24.49	24.4
INTERSECTION:						
750	0.70	3.4	0.270	0.39	35.24	24.4

Title
Subtitle
Intersection ID: 1
Roundabout

Table S.6 - INTERSECTION PERFORMANCE

Total Flow (veh/h)	Total Delay (veh-h/h)	Aver. Delay (sec)	Prop. Queued	Eff. Stop Rate	Perf. Index	Aver. Speed (km/h)
South: South Approach						
75	0.05	2.3	0.196	0.29	3.42	24.5
East: East Approach						
75	0.11	5.4	0.581	0.56	3.68	24.1
North: North Approach						
75	0.11	5.4	0.581	0.56	3.68	24.1
West: West Approach						
550	0.46	3.0	0.198	0.36	25.67	24.4
INTERSECTION:						
775	0.73	3.4	0.272	0.39	36.45	24.4

Title
 Subtitle
 Intersection ID: 1
 Roundabout

Table S.6 - INTERSECTION PERFORMANCE

Total Flow (veh/h)	Total Delay (veh-h/h)	Aver. Delay (sec)	Prop. Queued	Eff. Stop Rate	Perf. Index	Aver. Speed (km/h)
South: South Approach						
75	0.05	2.3	0.196	0.29	3.42	24.5
East: East Approach						
75	0.12	5.6	0.594	0.57	3.69	24.1
North: North Approach						
75	0.12	5.6	0.594	0.57	3.69	24.1
West: West Approach						
575	0.48	3.0	0.200	0.37	26.86	24.4
INTERSECTION:						
800	0.76	3.4	0.274	0.40	37.67	24.4

Title
Subtitle
Intersection ID: 1
Roundabout

Table S.6 - INTERSECTION PERFORMANCE

Total Flow (veh/h)	Total Delay (veh-h/h)	Aver. Delay (sec)	Prop. Queued	Eff. Stop Rate	Perf. Index	Aver. Speed (km/h)
South: South Approach						
75	0.05	2.3	0.196	0.29	3.42	24.5
East: East Approach						
75	0.12	5.8	0.607	0.58	3.71	24.1
North: North Approach						
75	0.12	5.8	0.607	0.58	3.71	24.1
West: West Approach						
600	0.50	3.0	0.202	0.37	28.04	24.4
INTERSECTION:						
825	0.79	3.5	0.275	0.40	38.88	24.4

Title
 Subtitle
 Intersection ID: 1
 Roundabout

Table S.6 - INTERSECTION PERFORMANCE

Total Flow (veh/h)	Total Delay (veh-h/h)	Aver. Delay (sec)	Prop. Queued	Eff. Stop Rate	Perf. Index	Aver. Speed (km/h)
South: South Approach						
75	0.05	2.3	0.196	0.29	3.42	24.5
East: East Approach						
75	0.13	6.0	0.619	0.59	3.72	24.0
North: North Approach						
75	0.13	6.0	0.619	0.59	3.72	24.0
West: West Approach						
625	0.53	3.0	0.205	0.37	29.23	24.4
INTERSECTION:						
850	0.82	3.5	0.277	0.40	40.10	24.3

Title
Subtitle
Intersection ID: 1
Roundabout

Table S.6 - INTERSECTION PERFORMANCE

Total Flow (veh/h)	Total Delay (veh-h/h)	Aver. Delay (sec)	Prop. Queued	Eff. Stop Rate	Perf. Index	Aver. Speed (km/h)
South: South Approach						
75	0.05	2.3	0.196	0.29	3.42	24.5
East: East Approach						
75	0.13	6.3	0.631	0.60	3.74	24.0
North: North Approach						
75	0.13	6.3	0.631	0.60	3.74	24.0
West: West Approach						
650	0.55	3.0	0.208	0.37	30.42	24.4
INTERSECTION:						
875	0.86	3.5	0.279	0.40	41.32	24.3

Title
Subtitle
Intersection ID: Roundabout 1

Table S.6 - INTERSECTION PERFORMANCE

Total Flow (veh/h)	Total Delay (veh-h/h)	Aver. Delay (sec)	Prop. Queued	Eff. Stop Rate	Perf. Index	Aver. Speed (km/h)
South: South Approach						
75	0.05	2.3	0.196	0.29	3.42	24.5
East: East Approach						
75	0.14	6.5	0.643	0.61	3.76	24.0
North: North Approach						
75	0.14	6.5	0.643	0.61	3.76	24.0
West: West Approach						
675	0.57	3.0	0.210	0.37	31.61	24.4
INTERSECTION:						
900	0.89	3.6	0.281	0.40	42.54	24.3

Title
 Subtitle
 Intersection ID: 1
 Roundabout

Table S.6 - INTERSECTION PERFORMANCE

Total Flow (veh/h)	Total Delay (veh-h/h)	Aver. Delay (sec)	Prop. Queued	Eff. Stop Rate	Perf. Index	Aver. Speed (km/h)
South: South Approach						
75	0.05	2.3	0.196	0.29	3.42	24.5
East: East Approach						
75	0.14	6.8	0.655	0.62	3.77	23.9
North: North Approach						
75	0.14	6.8	0.655	0.62	3.77	23.9
West: West Approach						
700	0.59	3.1	0.213	0.37	32.80	24.4
INTERSECTION:						
925	0.92	3.6	0.284	0.40	43.76	24.3

Title
 Subtitle
 Intersection ID: 1
 Roundabout

Table S.6 - INTERSECTION PERFORMANCE

Total Flow (veh/h)	Total Delay (veh-h/h)	Aver. Delay (sec)	Prop. Queued	Eff. Stop Rate	Perf. Index	Aver. Speed (km/h)
South: South Approach						
75	0.05	2.3	0.196	0.29	3.42	24.5
East: East Approach						
75	0.15	7.0	0.667	0.63	3.79	23.9
North: North Approach						
75	0.15	7.0	0.667	0.63	3.79	23.9
West: West Approach						
725	0.62	3.1	0.216	0.37	33.99	24.4
INTERSECTION:						
950	0.96	3.6	0.286	0.41	44.99	24.3

Title
 Subtitle
 Intersection ID: 1
 Roundabout

Table S.6 - INTERSECTION PERFORMANCE

Total Flow (veh/h)	Total Delay (veh-h/h)	Aver. Delay (sec)	Prop. Queued	Eff. Stop Rate	Perf. Index	Aver. Speed (km/h)
South: South Approach						
75	0.05	2.3	0.196	0.29	3.42	24.5
East: East Approach						
75	0.15	7.3	0.678	0.65	3.80	23.8
North: North Approach						
75	0.15	7.3	0.678	0.65	3.80	23.8
West: West Approach						
750	0.64	3.1	0.220	0.37	35.19	24.4
INTERSECTION:						
975	0.99	3.7	0.288	0.41	46.22	24.3

Title
 Subtitle
 Intersection ID: 1
 Roundabout

Table S.6 - INTERSECTION PERFORMANCE

Total Flow (veh/h)	Total Delay (veh-h/h)	Aver. Delay (sec)	Prop. Queued	Eff. Stop Rate	Perf. Index	Aver. Speed (km/h)
South: South Approach						
75	0.05	2.3	0.196	0.29	3.42	24.5
East: East Approach						
75	0.16	7.6	0.690	0.66	3.82	23.8
North: North Approach						
75	0.16	7.6	0.690	0.66	3.82	23.8
West: West Approach						
775	0.66	3.1	0.223	0.37	36.39	24.4
INTERSECTION:						
1000	1.03	3.7	0.291	0.41	47.45	24.3

Title
 Subtitle
 Intersection ID: 1
 Roundabout

Table S.6 - INTERSECTION PERFORMANCE

Total Flow (veh/h)	Total Delay (veh-h/h)	Aver. Delay (sec)	Prop. Queued	Eff. Stop Rate	Perf. Index	Aver. Speed (km/h)
South: South Approach						
75	0.05	2.3	0.196	0.29	3.42	24.5
East: East Approach						
75	0.16	7.9	0.701	0.67	3.84	23.8
North: North Approach						
75	0.16	7.9	0.701	0.67	3.84	23.8
West: West Approach						
800	0.69	3.1	0.226	0.37	37.59	24.4
INTERSECTION:						
1025	1.06	3.7	0.294	0.41	48.69	24.3

Title
Subtitle
Intersection ID: 1
Roundabout

Table S.6 - INTERSECTION PERFORMANCE

Total Flow (veh/h)	Total Delay (veh-h/h)	Aver. Delay (sec)	Prop. Queued	Eff. Stop Rate	Perf. Index	Aver. Speed (km/h)
South: South Approach						
75	0.05	2.3	0.196	0.29	3.42	24.5
East: East Approach						
75	0.17	8.2	0.712	0.68	3.86	23.7
North: North Approach						
75	0.17	8.2	0.712	0.68	3.86	23.7
West: West Approach						
825	0.71	3.1	0.230	0.37	38.79	24.4
INTERSECTION:						
1050	1.10	3.8	0.296	0.41	49.93	24.3

Title
 Subtitle
 Intersection ID: 1
 Roundabout

Table S.6 - INTERSECTION PERFORMANCE

Total Flow (veh/h)	Total Delay (veh-h/h)	Aver. Delay (sec)	Prop. Queued	Eff. Stop Rate	Perf. Index	Aver. Speed (km/h)
South: South Approach						
75	0.05	2.3	0.196	0.29	3.42	24.5
East: East Approach						
75	0.18	8.6	0.723	0.69	3.88	23.7
North: North Approach						
75	0.18	8.6	0.723	0.69	3.88	23.7
West: West Approach						
850	0.74	3.1	0.234	0.37	40.00	24.4
INTERSECTION:						
1075	1.14	3.8	0.299	0.41	51.17	24.3

Title
 Subtitle
 Intersection ID: 1
 Roundabout

Table S.6 - INTERSECTION PERFORMANCE

Total Flow (veh/h)	Total Delay (veh-h/h)	Aver. Delay (sec)	Prop. Queued	Eff. Stop Rate	Perf. Index	Aver. Speed (km/h)
South: South Approach						
75	0.05	2.3	0.196	0.29	3.42	24.5
East: East Approach						
75	0.19	8.9	0.734	0.70	3.90	23.6
North: North Approach						
75	0.19	8.9	0.734	0.70	3.90	23.6
West: West Approach						
875	0.76	3.1	0.238	0.37	41.20	24.4
INTERSECTION:						
1100	1.18	3.9	0.303	0.41	52.42	24.3

Title
 Subtitle
 Intersection ID: 1
 Roundabout

Table S.6 - INTERSECTION PERFORMANCE

Total Flow (veh/h)	Total Delay (veh-h/h)	Aver. Delay (sec)	Prop. Queued	Eff. Stop Rate	Perf. Index	Aver. Speed (km/h)
South: South Approach						
75	0.05	2.3	0.196	0.29	3.42	24.5
East: East Approach						
75	0.19	9.3	0.744	0.71	3.92	23.6
North: North Approach						
75	0.19	9.3	0.744	0.71	3.92	23.6
West: West Approach						
900	0.78	3.1	0.242	0.38	42.41	24.4
INTERSECTION:						
1125	1.22	3.9	0.306	0.42	53.67	24.3

Title
 Subtitle
 Intersection ID: 1
 Roundabout

Table S.6 - INTERSECTION PERFORMANCE

Total Flow (veh/h)	Total Delay (veh-h/h)	Aver. Delay (sec)	Prop. Queued	Eff. Stop Rate	Perf. Index	Aver. Speed (km/h)
South: South Approach						
75	0.05	2.3	0.196	0.29	3.42	24.5
East: East Approach						
75	0.20	9.6	0.755	0.73	3.94	23.5
North: North Approach						
75	0.20	9.6	0.755	0.73	3.94	23.5
West: West Approach						
925	0.81	3.1	0.246	0.38	43.63	24.4
INTERSECTION:						
1150	1.26	3.9	0.309	0.42	54.93	24.3

Title
Subtitle
Intersection ID: 1
Roundabout

Table S.6 - INTERSECTION PERFORMANCE

Total Flow (veh/h)	Total Delay (veh-h/h)	Aver. (sec)	Prop. Queued	Eff. Stop Rate	Perf. Index	Aver. (km/h)
<hr/>						
South: South Approach						
75	0.05	2.3	0.196	0.29	3.42	24.5
<hr/>						
East: East Approach						
75	0.21	10.0	0.765	0.74	3.96	23.4
<hr/>						
North: North Approach						
75	0.21	10.0	0.765	0.74	3.96	23.4
<hr/>						
West: West Approach						
950	0.83	3.2	0.251	0.38	44.86	24.4
<hr/>						
INTERSECTION:						
1175	1.30	4.0	0.313	0.42	56.20	24.3

Title
 Subtitle
 Intersection ID: 1
 Roundabout

Table S.6 - INTERSECTION PERFORMANCE

Total Flow (veh/h)	Total Delay (veh-h/h)	Aver. Delay (sec)	Prop. Queued	Eff. Stop Rate	Perf. Index	Aver. Speed (km/h)
South: South Approach						
75	0.05	2.3	0.196	0.29	3.42	24.5
East: East Approach						
75	0.22	10.5	0.775	0.75	3.98	23.4
North: North Approach						
75	0.22	10.5	0.775	0.75	3.98	23.4
West: West Approach						
975	0.86	3.2	0.256	0.38	46.09	24.4
INTERSECTION:						
1200	1.34	4.0	0.317	0.42	57.47	24.2

Title
 Subtitle
 Intersection ID: 1
 Roundabout

Table S.6 - INTERSECTION PERFORMANCE

Total Flow (veh/h)	Total Delay (veh-h/h)	Aver. Delay (sec)	Prop. Queued	Eff. Stop Rate	Perf. Index	Aver. Speed (km/h)
South: South Approach						
75	0.05	2.3	0.196	0.29	3.42	24.5
East: East Approach						
75	0.23	10.9	0.785	0.76	4.01	23.3
North: North Approach						
75	0.23	10.9	0.785	0.76	4.01	23.3
West: West Approach						
1000	0.88	3.2	0.261	0.38	47.33	24.4
INTERSECTION:						
1225	1.38	4.1	0.321	0.42	58.76	24.2

Title
 Subtitle
 Intersection ID: 1
 Roundabout

Table S.6 - INTERSECTION PERFORMANCE

Total Flow (veh/h)	Total Delay (veh-h/h)	Aver. Delay (sec)	Prop. Queued	Eff. Stop Rate	Perf. Index	Aver. Speed (km/h)
South: South Approach						
75	0.05	2.3	0.196	0.29	3.42	24.5
East: East Approach						
75	0.24	11.3	0.795	0.78	4.03	23.3
North: North Approach						
75	0.24	11.3	0.795	0.78	4.03	23.3
West: West Approach						
1025	0.91	3.2	0.267	0.38	48.57	24.3
INTERSECTION:						
1250	1.43	4.1	0.326	0.42	60.05	24.2

Title
Subtitle
Intersection ID: 1
Roundabout

Table S.6 - INTERSECTION PERFORMANCE

Total Flow (veh/h)	Total Delay (veh-h/h)	Aver. Delay (sec)	Prop. Queued	Eff. Stop Rate	Perf. Index	Aver. Speed (km/h)
<hr/>						
South: South Approach						
75	0.05	2.3	0.196	0.29	3.42	24.5
<hr/>						
East: East Approach						
75	0.25	11.8	0.804	0.79	4.06	23.2
<hr/>						
North: North Approach						
75	0.25	11.8	0.804	0.79	4.06	23.2
<hr/>						
West: West Approach						
1050	0.94	3.2	0.272	0.38	49.81	24.3
<hr/>						
INTERSECTION:						
1275	1.48	4.2	0.330	0.42	61.34	24.2

Title
Subtitle
Intersection ID: 1
Roundabout

Table S.6 - INTERSECTION PERFORMANCE

Total Flow (veh/h)	Total Delay (veh-h/h)	Aver. (sec)	Prop. Delayed Queued	Eff. Stop Rate	Perf. Index	Aver. (km/h)
<hr/>						
South: South Approach						
75	0.05	2.3	0.196	0.29	3.42	24.5
<hr/>						
East: East Approach						
75	0.26	12.3	0.813	0.80	4.08	23.1
<hr/>						
North: North Approach						
75	0.26	12.3	0.813	0.80	4.08	23.1
<hr/>						
West: West Approach						
1075	0.96	3.2	0.278	0.38	51.07	24.3
<hr/>						
INTERSECTION:						
1300	1.52	4.2	0.335	0.42	62.65	24.2

Title
 Subtitle
 Intersection ID: 1
 Roundabout

Table S.6 - INTERSECTION PERFORMANCE

Total Flow (veh/h)	Total Delay (veh-h/h)	Aver. Delay (sec)	Prop. Queued	Eff. Stop Rate	Perf. Index	Aver. Speed (km/h)
South: South Approach						
75	0.05	2.3	0.196	0.29	3.42	24.5
East: East Approach						
75	0.27	12.9	0.822	0.82	4.11	23.0
North: North Approach						
75	0.27	12.9	0.822	0.82	4.11	23.0
West: West Approach						
1100	0.99	3.2	0.285	0.38	52.33	24.3
INTERSECTION:						
1325	1.57	4.3	0.341	0.43	63.97	24.2

Title
Subtitle
Intersection ID: 1
Roundabout

Table S.6 - INTERSECTION PERFORMANCE

Total Flow (veh/h)	Total Delay (veh-h/h)	Aver. Delay (sec)	Prop. Queued	Eff. Stop Rate	Perf. Index	Aver. Speed (km/h)
South: South Approach						
75	0.05	2.3	0.196	0.29	3.42	24.5
East: East Approach						
75	0.28	13.4	0.831	0.83	4.14	23.0
North: North Approach						
75	0.28	13.4	0.831	0.83	4.14	23.0
West: West Approach						
1125	1.02	3.2	0.292	0.38	53.59	24.3
INTERSECTION:						
1350	1.62	4.3	0.346	0.43	65.29	24.2

Title
Subtitle
Intersection ID: 1
Roundabout

Table S.6 - INTERSECTION PERFORMANCE

Total Flow (veh/h)	Total Delay (veh-h/h)	Aver. Delay (sec)	Prop. Queued	Eff. Stop Rate	Perf. Index	Aver. Speed (km/h)
South: South Approach						
75	0.05	2.3	0.196	0.29	3.42	24.5
East: East Approach						
75	0.29	14.0	0.839	0.84	4.17	22.9
North: North Approach						
75	0.29	14.0	0.839	0.84	4.17	22.9
West: West Approach						
1150	1.04	3.3	0.299	0.38	54.87	24.3
INTERSECTION:						
1375	1.68	4.4	0.352	0.43	66.63	24.2

Title
Subtitle
Intersection ID: 1
Roundabout

Table S.6 - INTERSECTION PERFORMANCE

Total Flow (veh/h)	Total Delay (veh-h/h)	Aver. Delay (sec)	Prop. Queued	Eff. Stop Rate	Perf. Index	Aver. Speed (km/h)
South: South Approach						
75	0.05	2.3	0.196	0.29	3.42	24.5
East: East Approach						
75	0.31	14.7	0.847	0.86	4.20	22.8
North: North Approach						
75	0.31	14.7	0.847	0.86	4.20	22.8
West: West Approach						
1175	1.07	3.3	0.307	0.38	56.15	24.3
INTERSECTION:						
1400	1.73	4.4	0.359	0.43	67.98	24.2

2. เมื่อใช้ข้อมูลปริมาณการจราจรจากการเก็บข้อมูลภาคสนาม

Field
 Subtitle
 Intersection ID: 1
 Roundabout

Table S.6 - INTERSECTION PERFORMANCE

Total Flow (veh/h)	Total Delay (veh-h/h)	Aver. Delay (sec)	Prop. Queued	Eff. Stop Rate	Perf. Index	Aver. Speed (km/h)
South: South Approach						
76	0.06	2.7	0.304	0.34	3.51	24.4
East: East Approach						
112	0.08	2.7	0.297	0.35	5.17	24.4
North: North Approach						
136	0.11	2.8	0.292	0.36	6.31	24.4
West: West Approach						
184	0.10	2.0	0.150	0.27	8.28	24.6
INTERSECTION:						
508	0.35	2.5	0.243	0.32	23.27	24.5

Field
Subtitle
Intersection ID: 1
Roundabout

Table S.6 - INTERSECTION PERFORMANCE

Total Flow (veh/h)	Total Delay (veh-h/h)	Aver. Delay (sec)	Prop. Queued	Eff. Stop Rate	Perf. Index	Aver. Speed (km/h)
South: South Approach						
200	0.23	4.1	0.492	0.50	9.61	24.3
East: East Approach						
304	0.30	3.6	0.456	0.47	14.43	24.3
North: North Approach						
228	0.27	4.3	0.507	0.52	11.03	24.3
West: West Approach						
392	0.30	2.8	0.338	0.37	18.17	24.4
INTERSECTION:						
1124	1.11	3.6	0.432	0.45	53.24	24.3

Field
Subtitle
Intersection ID: 1
Roundabout

Table S.6 - INTERSECTION PERFORMANCE

Total Flow (veh/h)	Total Delay (veh-h/h)	Aver. Delay (sec)	Prop. Queued	Eff. Stop Rate	Perf. Index	Aver. Speed (km/h)
South: South Approach						
328	0.41	4.5	0.568	0.56	15.94	24.3
East: East Approach						
404	0.55	4.9	0.599	0.59	19.82	24.2
North: North Approach						
220	0.42	6.9	0.676	0.69	11.19	23.9
West: West Approach						
652	0.59	3.2	0.415	0.43	30.70	24.3
INTERSECTION:						
1604	1.97	4.4	0.528	0.53	77.65	24.2

Field
Subtitle
Intersection ID: 1
Roundabout

Table S.6 - INTERSECTION PERFORMANCE

Total Flow (veh/h)	Total Delay (veh-h/h)	Aver. Delay (sec)	Prop. Queued	Eff. Stop Rate	Perf. Index	Aver. (km/h)
South: South Approach						
388	0.43	4.0	0.532	0.52	18.66	24.3
East: East Approach						
368	0.43	4.2	0.541	0.53	17.76	24.3
North: North Approach						
220	0.39	6.3	0.653	0.66	11.06	24.0
West: West Approach						
588	0.57	3.5	0.460	0.46	27.94	24.3
INTERSECTION:						
1564	1.82	4.2	0.524	0.52	75.42	24.2

Field
 Subtitle
 Intersection ID: 1
 Roundabout

Table S.6 - INTERSECTION PERFORMANCE

Total Flow (veh/h)	Total Delay (veh-h/h)	Aver. Delay (sec)	Prop. Queued	Eff. Stop Rate	Perf. Index	Aver. Speed (km/h)
South: South Approach						
400	0.44	3.9	0.546	0.52	19.21	24.3
East: East Approach						
332	0.40	4.3	0.537	0.54	16.05	24.3
North: North Approach						
232	0.44	6.8	0.674	0.68	11.77	23.9
West: West Approach						
580	0.52	3.2	0.384	0.42	27.24	24.3
INTERSECTION:						
1544	1.79	4.2	0.503	0.51	74.27	24.2

Field
Subtitle
Intersection ID: 1
Roundabout

Table S.6 - INTERSECTION PERFORMANCE

Total Flow (veh/h)	Total Delay (veh-h/h)	Aver. Delay (sec)	Prop. Queued	Eff. Stop Rate	Perf. Index	Aver. Speed (km/h)
<hr/>						
South: South Approach						
316	0.31	3.5	0.510	0.48	14.98	24.3
<hr/>						
East: East Approach						
432	0.40	3.3	0.461	0.45	20.41	24.3
<hr/>						
North: North Approach						
184	0.30	5.9	0.625	0.62	9.17	24.1
<hr/>						
West: West Approach						
608	0.49	2.9	0.353	0.39	28.27	24.4
<hr/>						
INTERSECTION:						
1540	1.50	3.5	0.448	0.45	72.83	24.3

Field
 Subtitle
 Intersection ID: 1
 Roundabout

Table S.6 - INTERSECTION PERFORMANCE

Total Flow (veh/h)	Total Delay (veh-h/h)	Aver. Delay (sec)	Prop. Queued	Eff. Stop Rate	Perf. Index	Aver. Speed (km/h)
South: South Approach						
432	0.42	3.5	0.451	0.46	20.52	24.3
East: East Approach						
292	0.28	3.4	0.446	0.45	13.79	24.3
North: North Approach						
184	0.34	6.7	0.667	0.67	9.29	23.9
West: West Approach						
512	0.60	4.2	0.534	0.53	24.80	24.2
INTERSECTION:						
1420	1.64	4.2	0.508	0.51	68.39	24.2

Field
Subtitle
Intersection ID: 1
Roundabout

Table S.6 - INTERSECTION PERFORMANCE

Total Flow (veh/h)	Total Delay (veh-h/h)	Aver. Delay (sec)	Prop. Queued	Eff. Stop Rate	Perf. Index	Aver. Speed (km/h)
<hr/>						
South: South Approach						
340	0.37	3.9	0.519	0.50	16.29	24.3
<hr/>						
East: East Approach						
304	0.29	3.4	0.432	0.45	14.36	24.3
<hr/>						
North: North Approach						
184	0.31	6.0	0.622	0.63	9.21	24.0
<hr/>						
West: West Approach						
528	0.45	3.1	0.377	0.41	24.68	24.4
<hr/>						
INTERSECTION:						
1356	1.41	3.8	0.458	0.47	64.54	24.3

Field
Subtitle
Intersection ID: 1
Roundabout

Table S.6 - INTERSECTION PERFORMANCE

Total Flow (veh/h)	Total Delay (veh-h/h)	Aver. Delay (sec)	Prop. Queued	Eff. Stop Rate	Perf. Index	Aver. (km/h)
<hr/>						
South: South Approach						
356	0.37	3.7	0.470	0.48	17.02	24.3
<hr/>						
East: East Approach						
380	0.37	3.5	0.482	0.47	18.02	24.3
<hr/>						
North: North Approach						
164	0.34	7.4	0.701	0.69	8.36	23.8
<hr/>						
West: West Approach						
628	0.65	3.8	0.484	0.49	30.04	24.3
<hr/>						
INTERSECTION:						
1528	1.73	4.1	0.504	0.50	73.43	24.2

Field
 Subtitle
 Intersection ID: 1
 Roundabout

Table S.6 - INTERSECTION PERFORMANCE

Total Flow (veh/h)	Total Delay (veh-h/h)	Aver. Delay (sec)	Prop. Queued	Eff. Stop Rate	Perf. Index	Aver. Speed (km/h)
South: South Approach						
504	0.53	3.8	0.498	0.49	24.14	24.3
East: East Approach						
352	0.42	4.2	0.550	0.54	16.99	24.3
North: North Approach						
228	0.78	12.3	0.821	1.00	12.78	23.1
West: West Approach						
808	1.37	6.1	0.682	0.73	41.44	24.0
INTERSECTION:						
1892	3.10	5.9	0.625	0.66	95.35	24.0

Field
 Subtitle
 Intersection ID: 1
 Roundabout

Table S.6 - INTERSECTION PERFORMANCE

Total Flow (veh/h)	Total Delay (veh-h/h)	Aver. Delay (sec)	Prop. Queued	Eff. Stop Rate	Perf. Index	Aver. Speed (km/h)
South: South Approach						
512	1.56	11.0	0.807	1.09	29.06	23.3
East: East Approach						
740	0.99	4.8	0.628	0.62	36.60	24.2
North: North Approach						
288	1.53	19.1	0.877	1.39	18.39	22.2
West: West Approach						
880	2.26	9.2	0.794	1.00	48.89	23.6
INTERSECTION:						
2420	6.35	9.4	0.756	0.95	132.93	23.5

Field
 Subtitle
 Intersection ID: 1
 Roundabout

Table S.6 - INTERSECTION PERFORMANCE

Total Flow (veh/h)	Total Delay (veh-h/h)	Aver. Delay (sec)	Prop. Queued	Eff. Stop Rate	Perf. Index	Aver. Speed (km/h)
South: South Approach						
504	0.76	5.4	0.648	0.65	25.18	24.1
East: East Approach						
496	0.47	3.4	0.460	0.46	23.47	24.3
North: North Approach						
264	0.63	8.5	0.756	0.81	13.84	23.7
West: West Approach						
708	1.28	6.5	0.694	0.76	36.59	24.0
INTERSECTION:						
1972	3.13	5.7	0.632	0.66	99.08	24.1

Field
 Subtitle
 Intersection ID: 1
 Roundabout

Table S.6 - INTERSECTION PERFORMANCE

Total Flow (veh/h)	Total Delay (veh-h/h)	Aver. Delay (sec)	Prop. Queued	Eff. Stop Rate	Perf. Index	Aver. Speed (km/h)
South: South Approach						
264	0.46	6.3	0.665	0.67	13.27	24.0
East: East Approach						
612	0.50	3.0	0.369	0.40	28.53	24.4
North: North Approach						
252	0.28	4.0	0.510	0.50	12.10	24.3
West: West Approach						
356	0.41	4.2	0.527	0.53	17.17	24.3
INTERSECTION:						
1484	1.66	4.0	0.483	0.49	71.07	24.3

Field
Subtitle
Intersection ID: 1
Roundabout

Table S.6 - INTERSECTION PERFORMANCE

Total Flow (veh/h)	Total Delay (veh-h/h)	Aver. Delay (sec)	Prop. Queued	Eff. Stop Rate	Perf. Index	Aver. (km/h)
<hr/>						
South: South Approach						
540	1.74	11.6	0.819	1.13	31.07	23.2
<hr/>						
East: East Approach						
592	1.15	7.0	0.708	0.80	30.83	23.9
<hr/>						
North: North Approach						
380	2.26	21.4	0.895	1.58	25.46	21.9
<hr/>						
West: West Approach						
804	1.67	7.5	0.729	0.85	42.74	23.8
<hr/>						
INTERSECTION:						
2316	6.82	10.6	0.772	1.02	130.11	23.4

Field
Subtitle
Intersection ID: 1
Roundabout

Table S.6 - INTERSECTION PERFORMANCE

Total Flow (veh/h)	Total Delay (veh-h/h)	Aver. Delay (sec)	Prop. Queued	Eff. Stop Rate	Perf. Index	Aver. Speed (km/h)
<hr/>						
South: South Approach						
548	0.79	5.2	0.630	0.63	27.25	24.2
<hr/>						
East: East Approach						
484	0.51	3.8	0.513	0.50	23.15	24.3
<hr/>						
North: North Approach						
220	0.61	9.9	0.782	0.85	11.76	23.5
<hr/>						
West: West Approach						
728	1.81	8.9	0.775	0.96	39.94	23.6
<hr/>						
INTERSECTION:						
1980	3.71	6.7	0.672	0.75	102.11	23.9

Field
 Subtitle
 Intersection ID: 1
 Roundabout

Table S.6 - INTERSECTION PERFORMANCE

Total Flow (veh/h)	Total Delay (veh-h/h)	Aver. Delay (sec)	Prop. Queued	Eff. Stop Rate	Perf. Index	Aver. Speed (km/h)
South: South Approach						
384	0.39	3.6	0.479	0.48	18.29	24.3
East: East Approach						
376	0.32	3.1	0.404	0.41	17.59	24.4
North: North Approach						
148	0.26	6.4	0.658	0.64	7.41	24.0
West: West Approach						
600	0.65	3.9	0.511	0.51	28.81	24.3
INTERSECTION:						
1508	1.62	3.9	0.491	0.49	72.10	24.3

ประวัติการศึกษา

ชื่อ นายกนก ผจงจิตยางกูร
วันเดือนปีเกิด ศุกร์ที่ 30 มกราคม พ.ศ. 2524
วุฒิการศึกษา น้ชymศึกษาปีที่ 6 โรงเรียนสามเสนวิทยาลัย, 2542
วิศวกรรมศาสตร์บัณฑิต (วิศวกรรมโยธา) มหาวิทยาลัยเกษตรศาสตร์, 2546
วิศวกรรมศาสตร์บัณฑิต (วิศวกรรมขนส่งและสารสนเทศ)
มหาวิทยาลัยธรรมศาสตร์, 2552